



Síndrome hipereosinofílico idiopático

Barcelona 6 de junio de 2014

Caso clínico



Varón de 34 años de edad sin antecedentes patológicos de interés.

Motivo de consulta

- Epigastralgia y dolor precordial opresivo irradiado a brazo izquierdo, acompañado de vegetatismo.

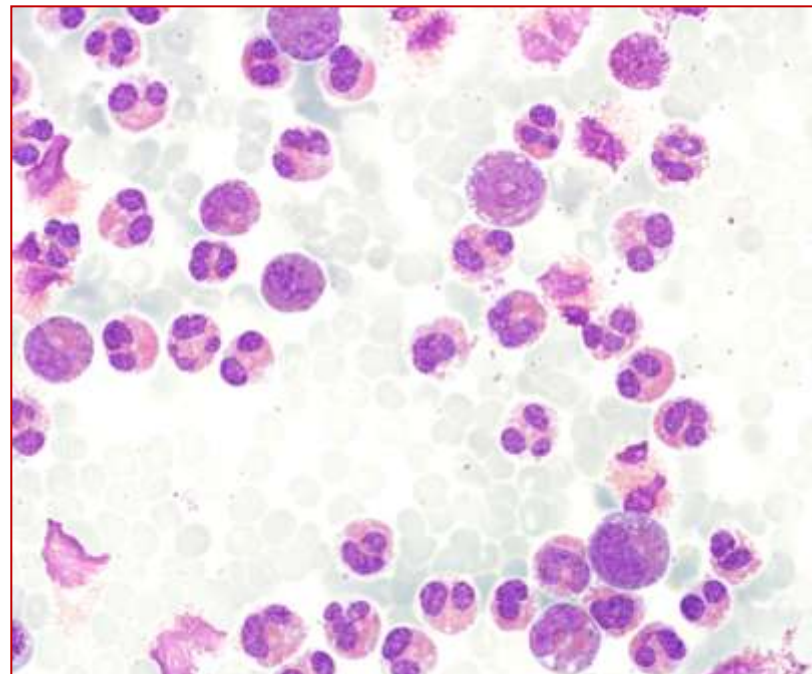
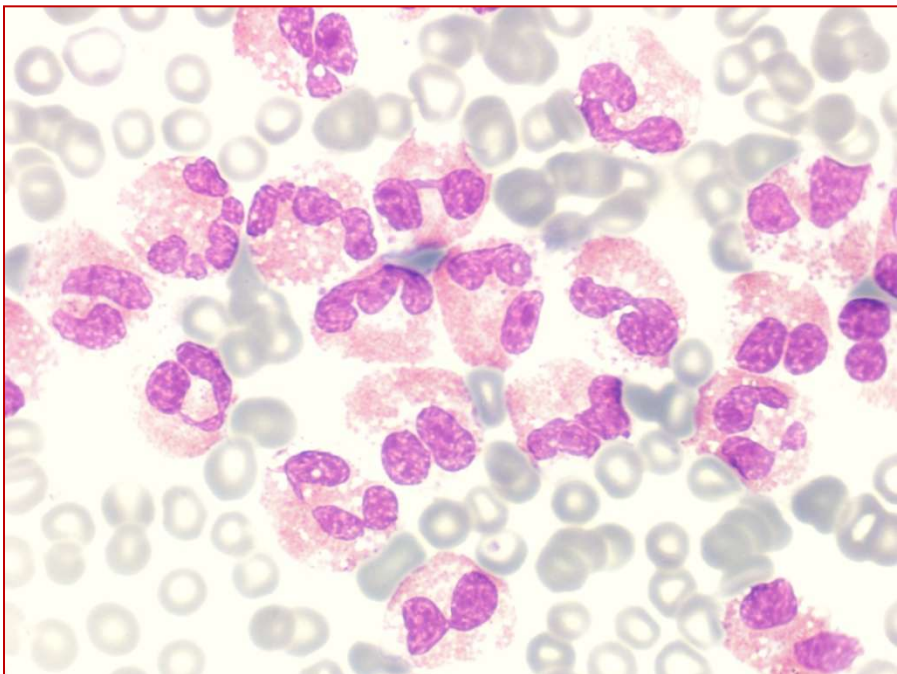
Exploración física

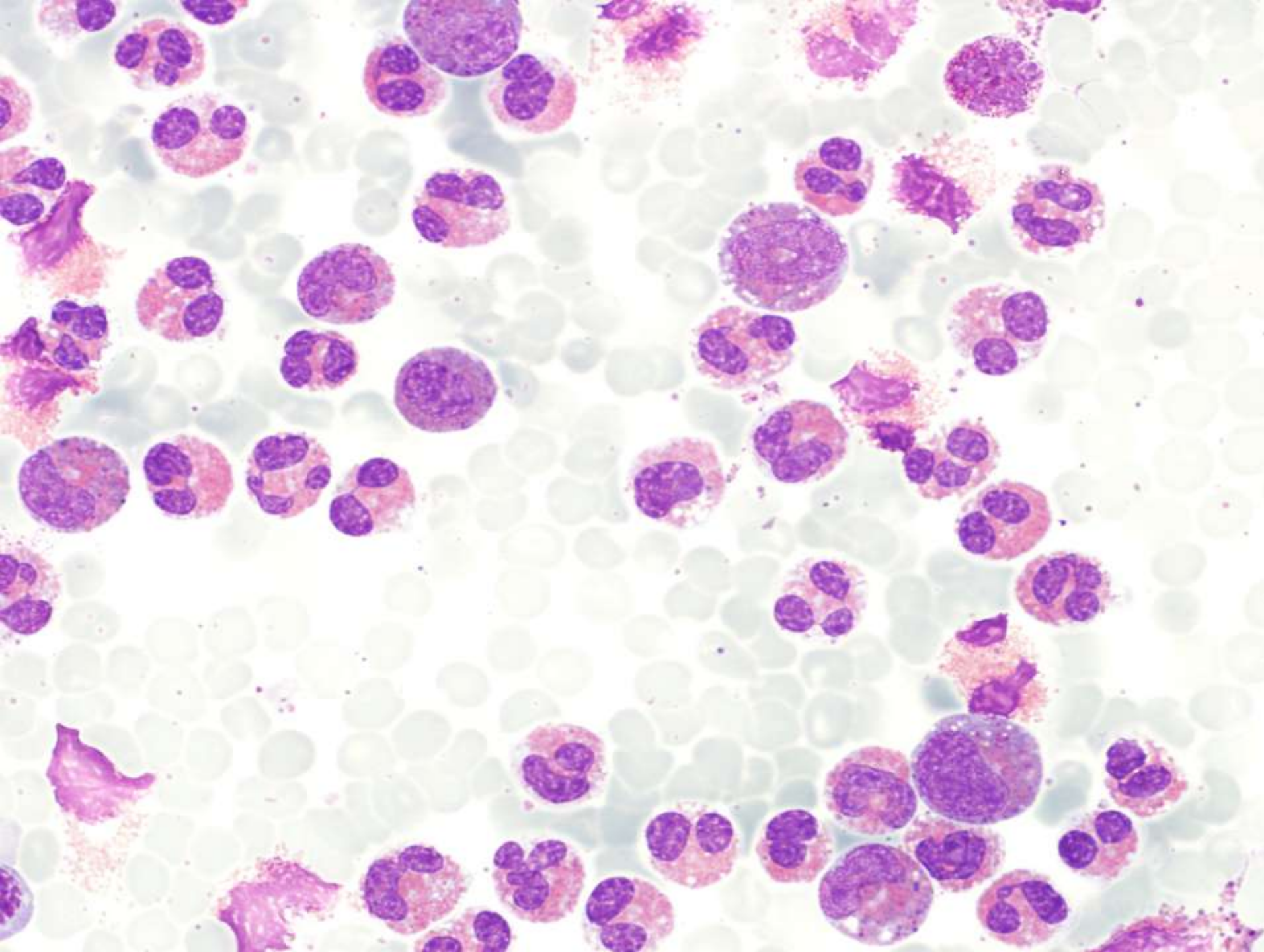
- ECOG 2-3, T^a axilar 38.5°C, TA 130/90.
- Lesiones purpúricas palpables en palmas y plantas.
- Auscultación cardíaca: soplo sistólico paraesternal izquierdo.
- Auscultación respiratoria: subcrepitantes bibasales.
- Esplenomegalia de 4 cm.

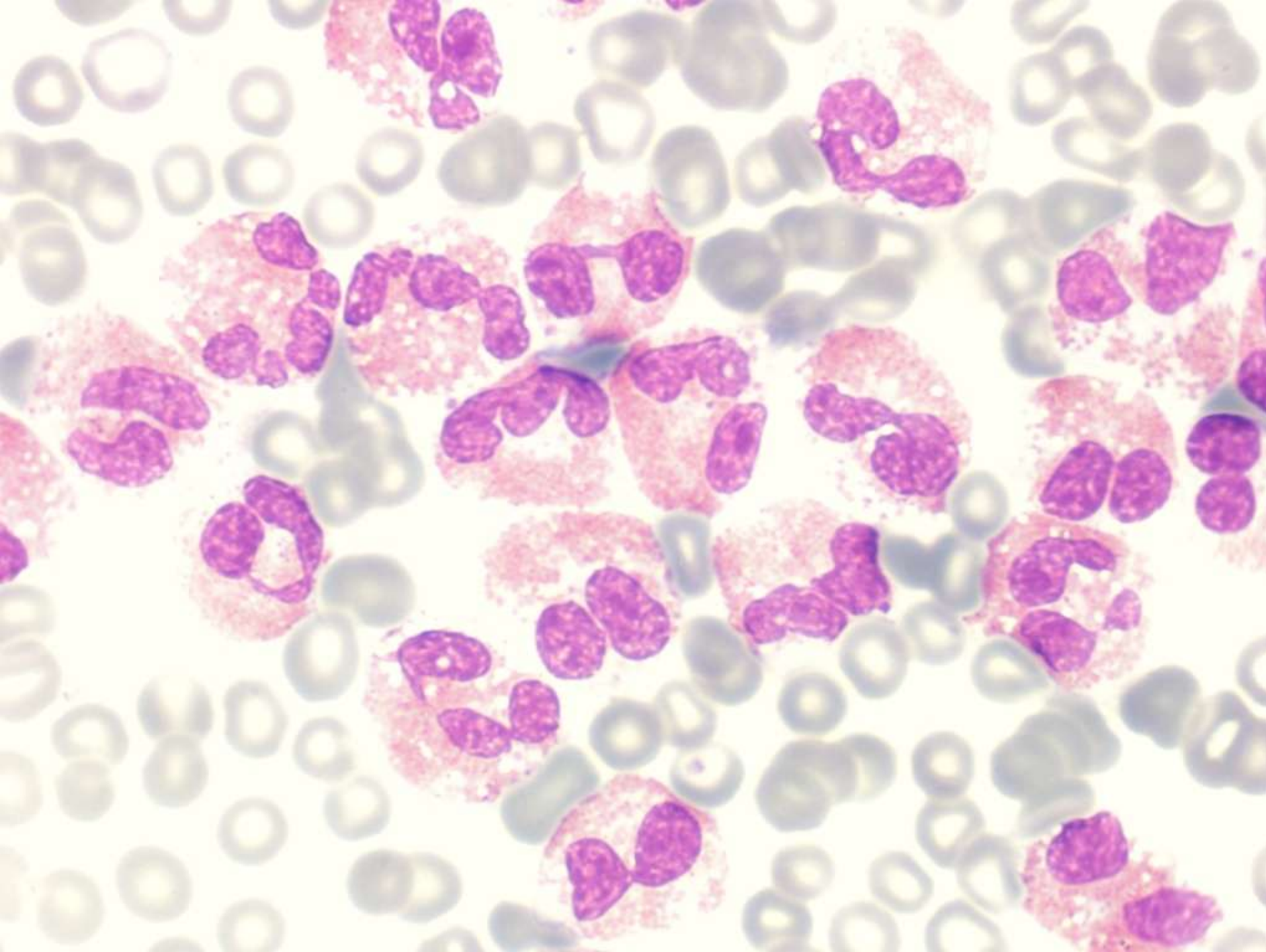
Exploraciones complementarias I



Hemograma: leucocitos $258 \times 10^9/L$ (3% neutrófilos, 3% linfocitos, 94% eosinófilos), hemoglobina 163 g/L, VCM 89 fL, plaquetas $141 \times 10^9/L$. VSG 1 mm 1^a hora.







Exploraciones complementarias II



- **Bioquímica sérica:** glucosa 7.9 mmol/L, urea 6.8 mmol/L, creatinina 74 µmol/L, Na 134 mmol/L, K 4.6 mmol/L, proteínas totales 49 g/L, bilirrubina 10.7 µmol/L, AST 44 U/L, ALT 165 U/L, FA 184 U/L, GGT 335 U/L, LDH 636 U/L, PCR 86 mg/L.
- **Marcadores tumorales:** alfa-fetoproteína 1,9 ng/mL (0.6-6.7), beta-HCG < 0.5 mUI/mL (<5), CA.125 249 U/mL (0.5-35), PSA 0,13 ng/mL (0-3), CA-15.3 28 U/mL (0.5-30).
- **Estudio inmunológico:** IgG 493 mg/dL, IgA 105 mg/dL, IgM 146 mg/dL, IgE 37 UI/mL (<100 UI/mL), dosificación del complemento normal. ANA y anticuerpos antitisulares negativos.

Exploraciones complementarias III

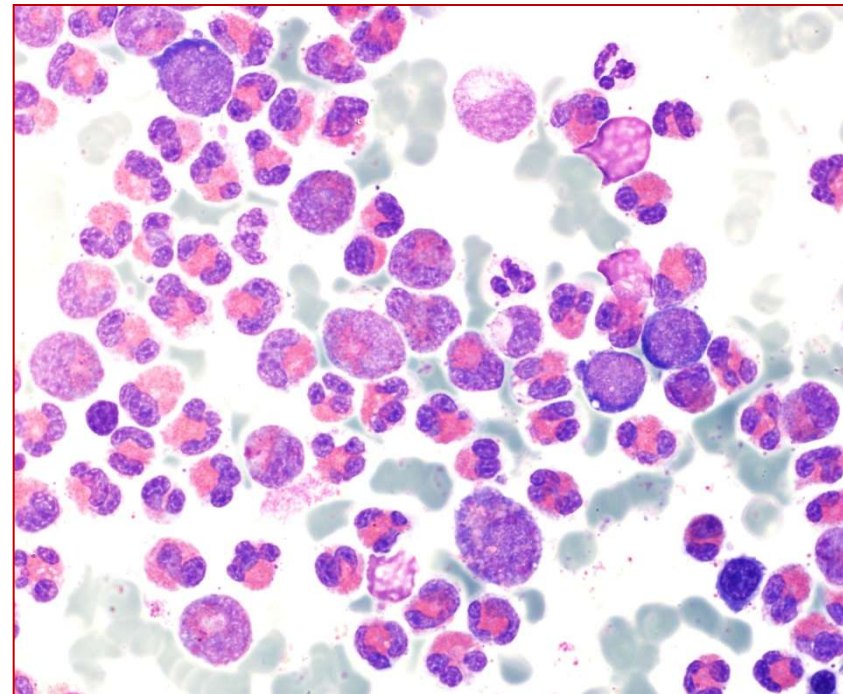
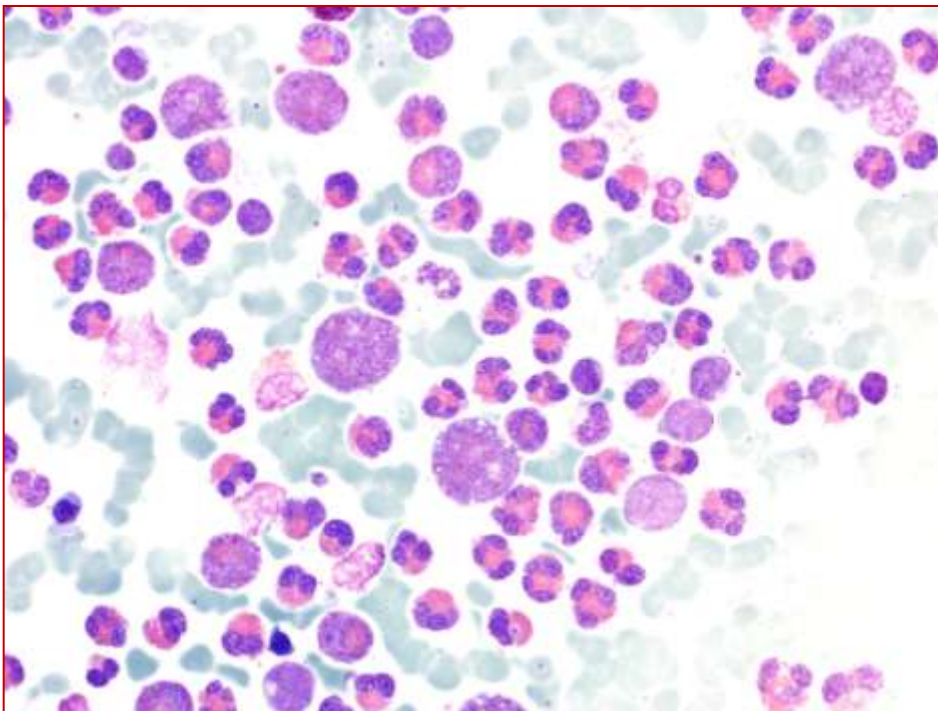


- **Rx de tórax**: patrón intersticial bilateral de predominio hiliar.
- **ECG**: descenso el segmento ST en V5-V6.
- **Ecocardiograma**: ventrículo izquierdo sin dilatación ni hipertrofia, con una función global conservada (FE 56%), sin evidencia de vegetaciones valvulares ni fibrosis. Insuficiencia mitral y tricuspídea mínima. Derrame pericárdico ligero en fondo de saco posterior, sin compromiso hemodinámico.

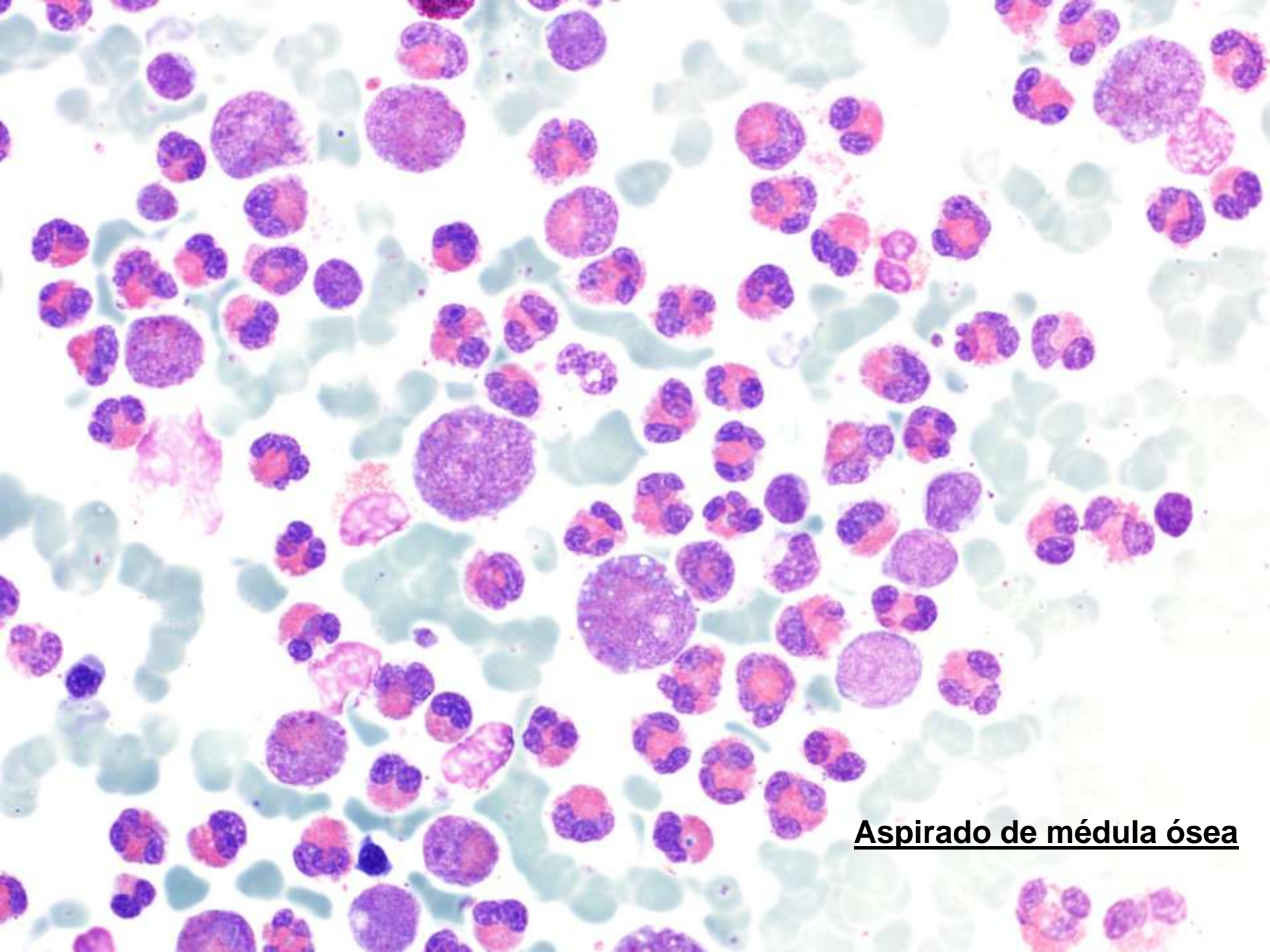
Exploraciones complementarias III



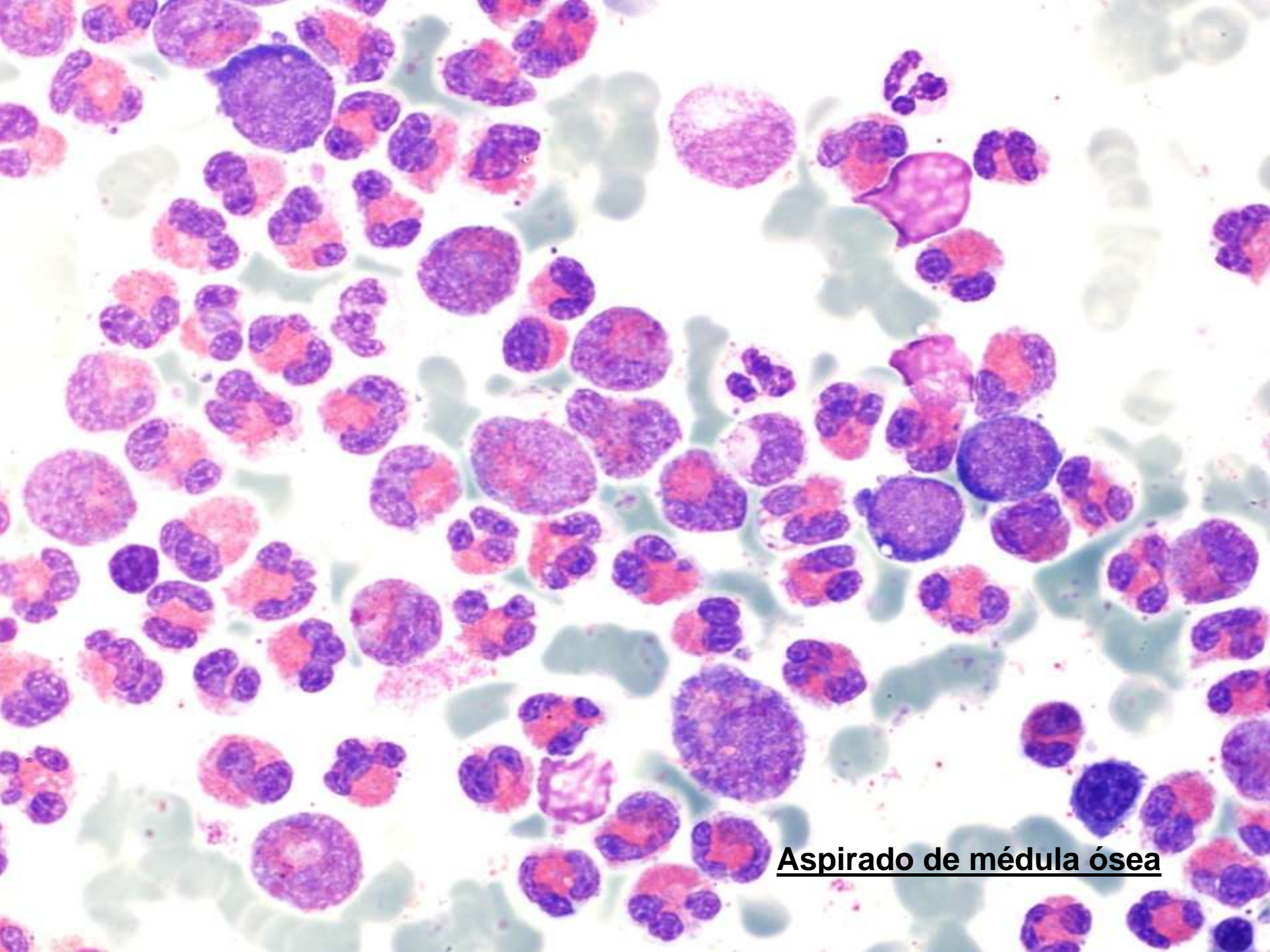
- Aspirado de médula ósea



- Estudio citoogenético: 46,XY[25]
- Biología molecular: ausencia del gen de fusión BCR/ABL1.

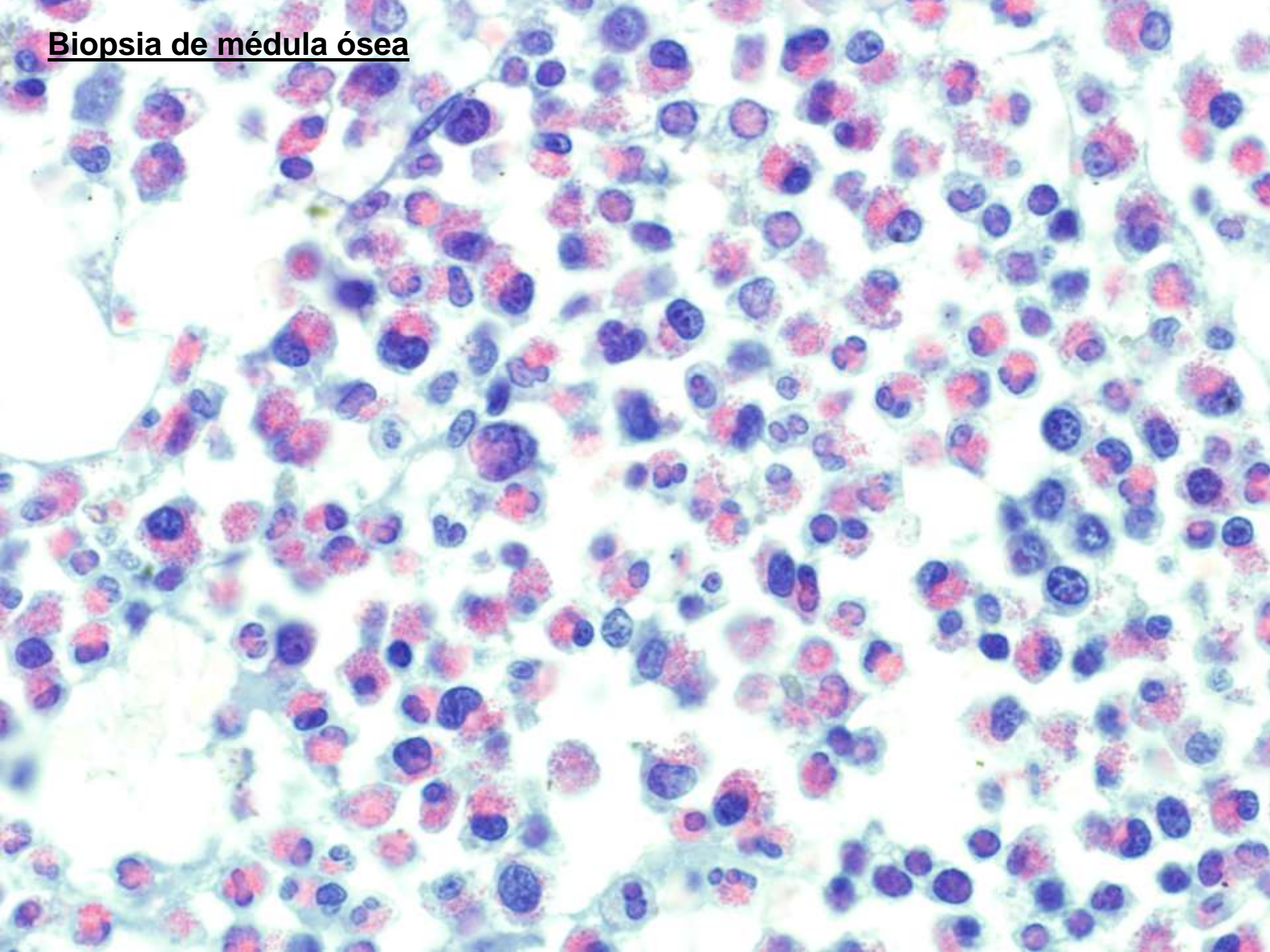
A microscopic image of bone marrow aspirate. The field is densely packed with various types of blood cells. Large, prominent cells with dark purple, granular cytoplasm and large, pale pink nuclei are scattered throughout. Smaller, more uniform light blue and pinkish cells are also visible. The overall appearance is one of a high-cellular, well-preserved tissue sample.

Aspirado de médula ósea

A high-magnification microscopic image of bone marrow aspirate. The field is densely packed with numerous large, circular cells. These cells have a distinct purple-to-red coloration, characteristic of myeloblasts or blasts from a leukemic process. They are surrounded by a light blue-green background, which represents the extracellular matrix and other cellular components.

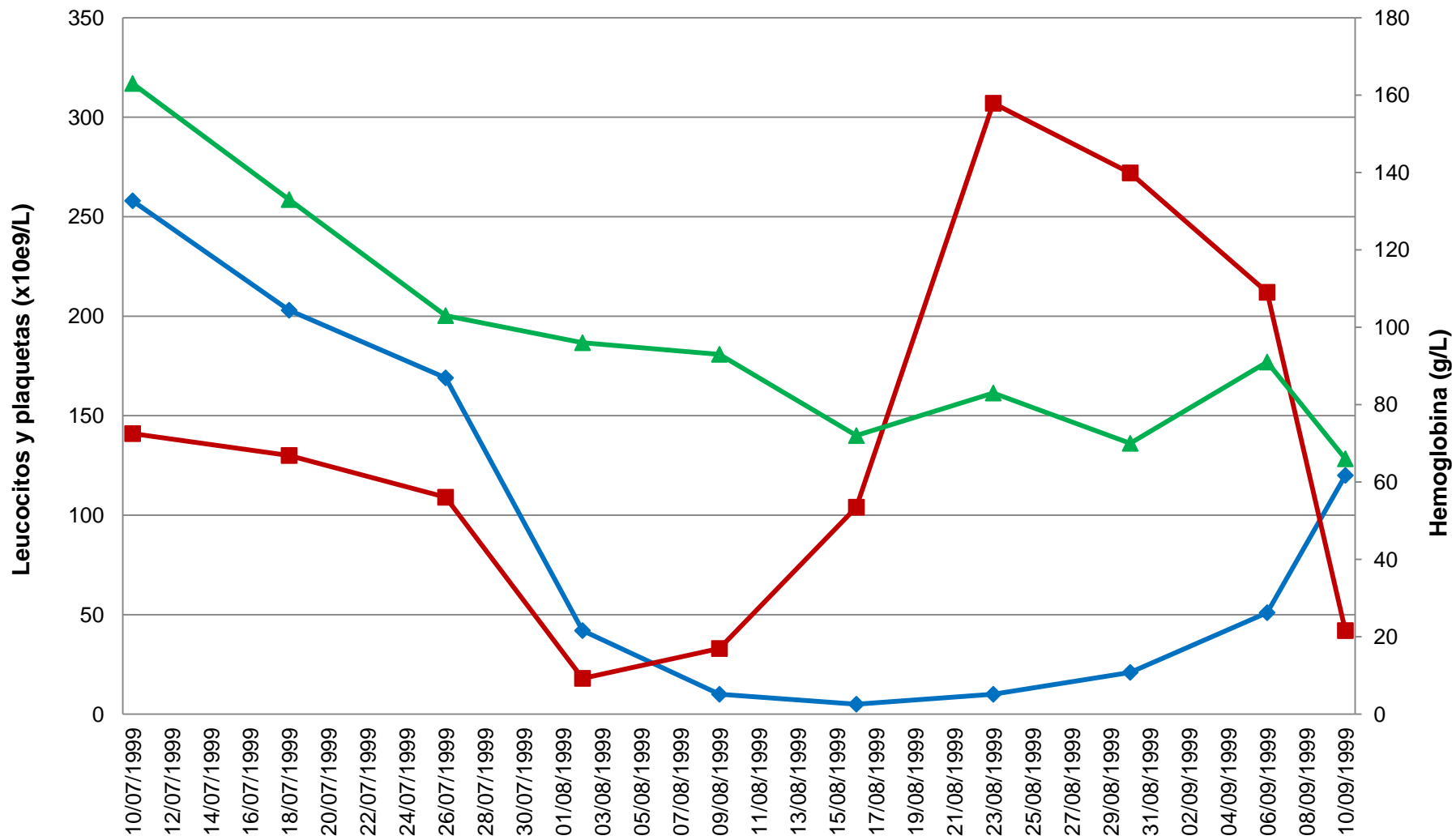
Aspirado de médula ósea

Biopsia de médula ósea

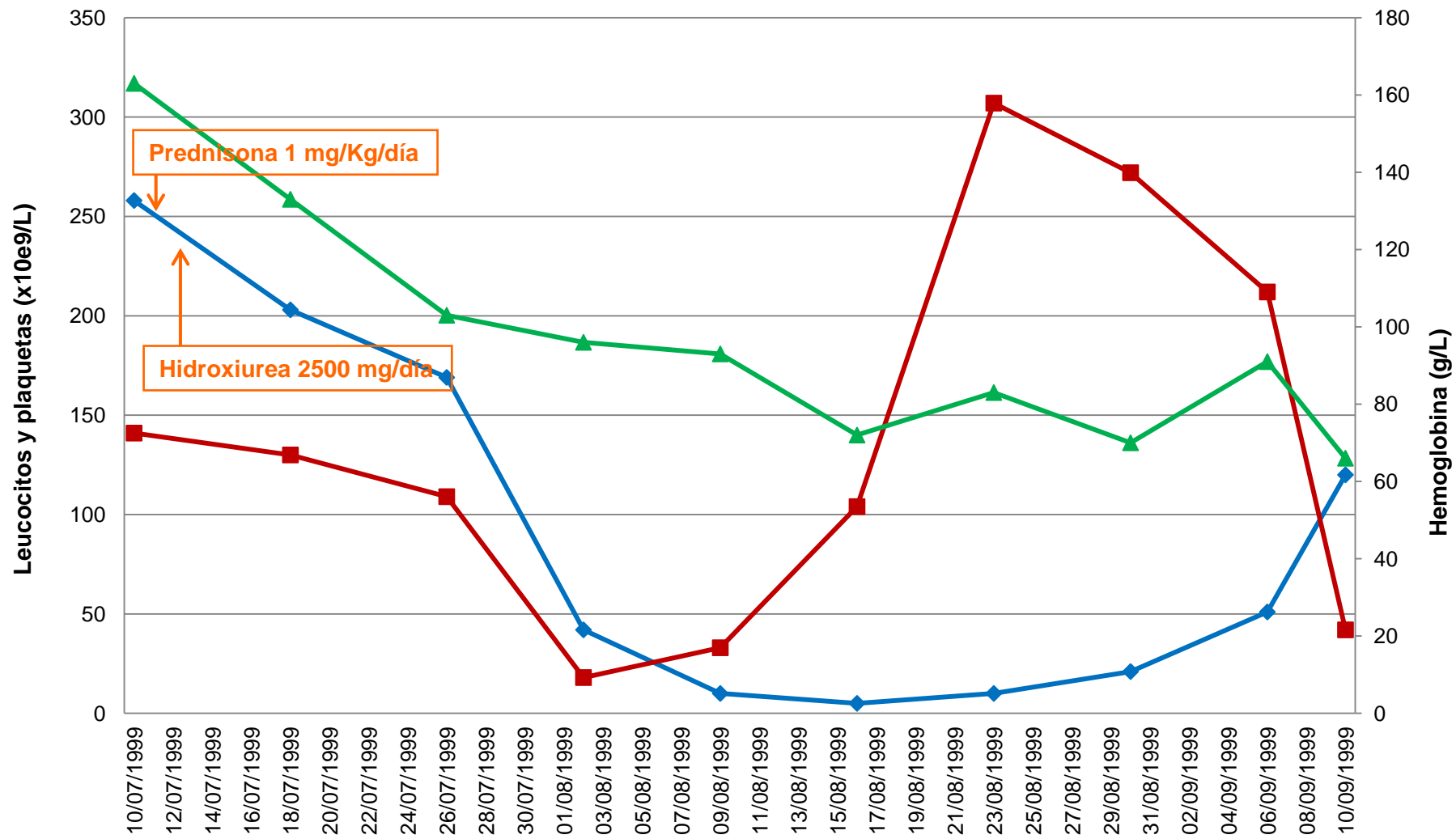




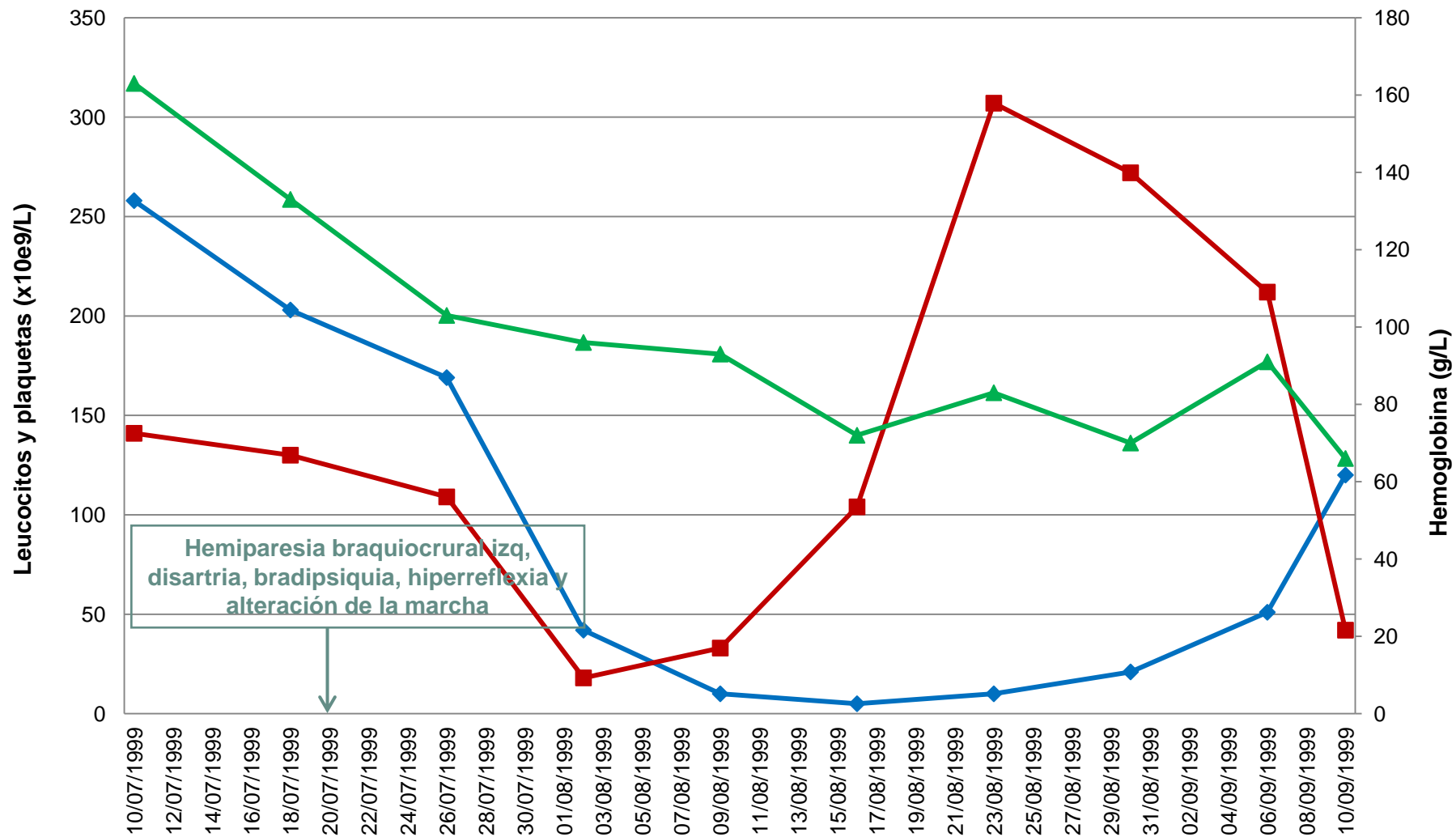
Síndrome hipereosinofílico idiopático



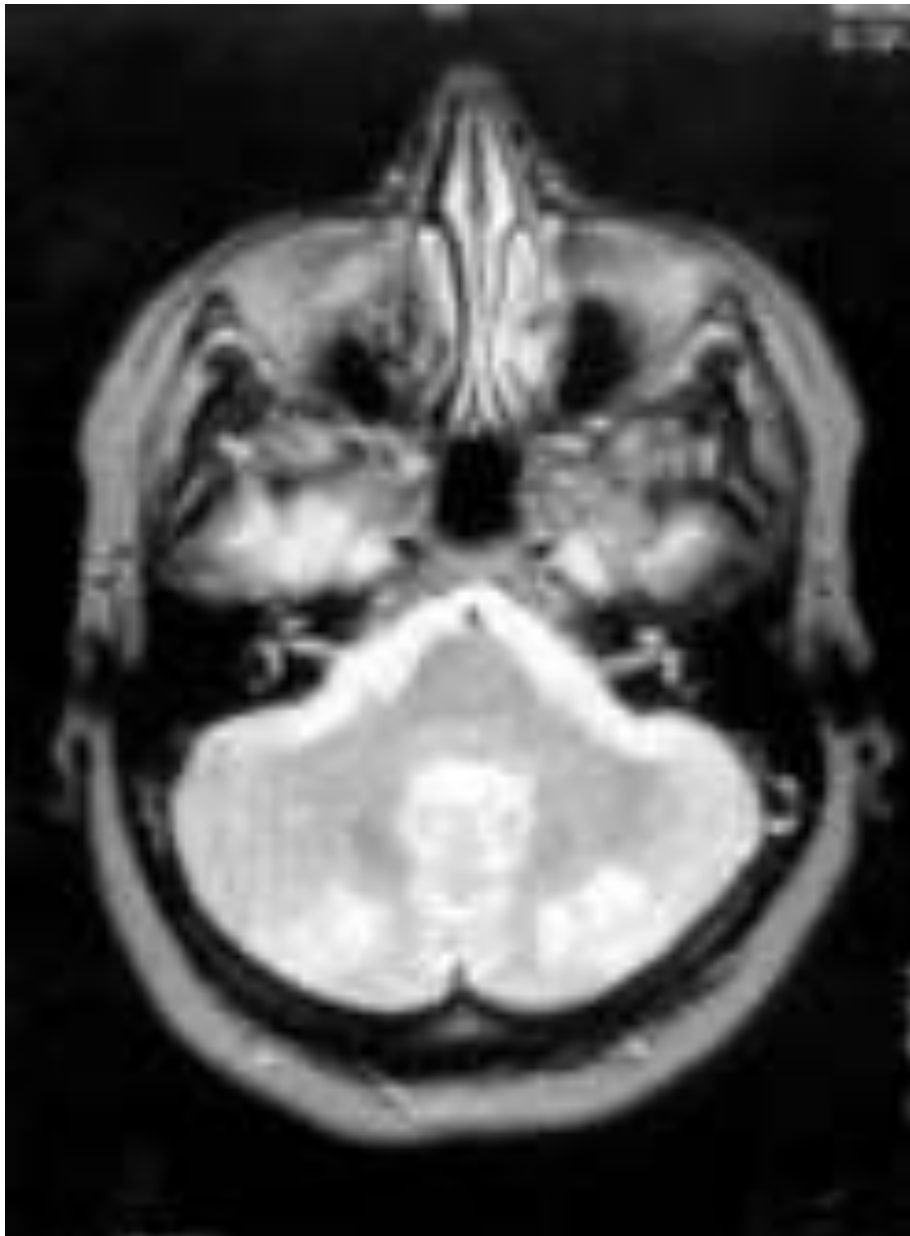
	10/07/1999	18/07/1999	26/07/1999	02/08/1999	09/08/1999	16/08/1999	23/08/1999	30/08/1999	06/09/1999	10/09/1999
Leucocitos	258	203	169	42	10	5	10	21	51	120
Plaquetas	141	130	109	18	33	104	307	272	212	42
Hemoglobina	163	133	103	96	93	72	83	70	91	66



	10/07/1999	18/07/1999	26/07/1999	02/08/1999	09/08/1999	16/08/1999	23/08/1999	30/08/1999	06/09/1999	04/09/1999	08/09/1999	10/09/1999
Leucocitos	258	203	169	42	10	5	10	21	51	120		
Plaquetas	141	130	109	18	33	104	307	272	212	42		
Hemoglobina	163	133	103	96	93	72	83	70	91	66		



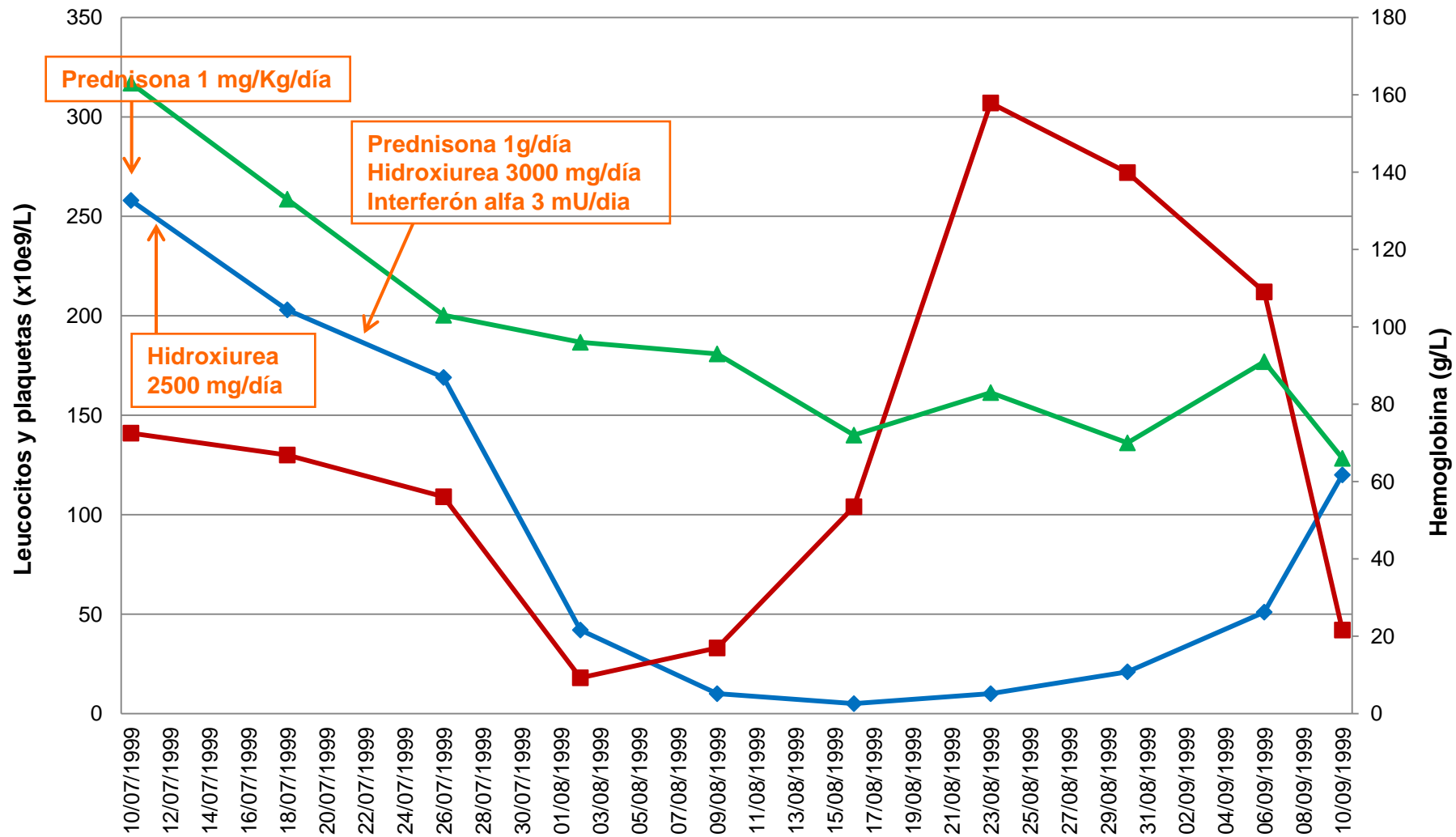
	10/07/1999	18/07/1999	26/07/1999	02/08/1999	09/08/1999	16/08/1999	23/08/1999	30/08/1999	06/09/1999	10/09/1999
Leucocitos	258	203	169	42	10	5	10	21	51	120
Plaquetas	141	130	109	18	33	104	307	272	212	42
Hemoglobina	163	133	103	96	93	72	83	70	91	66



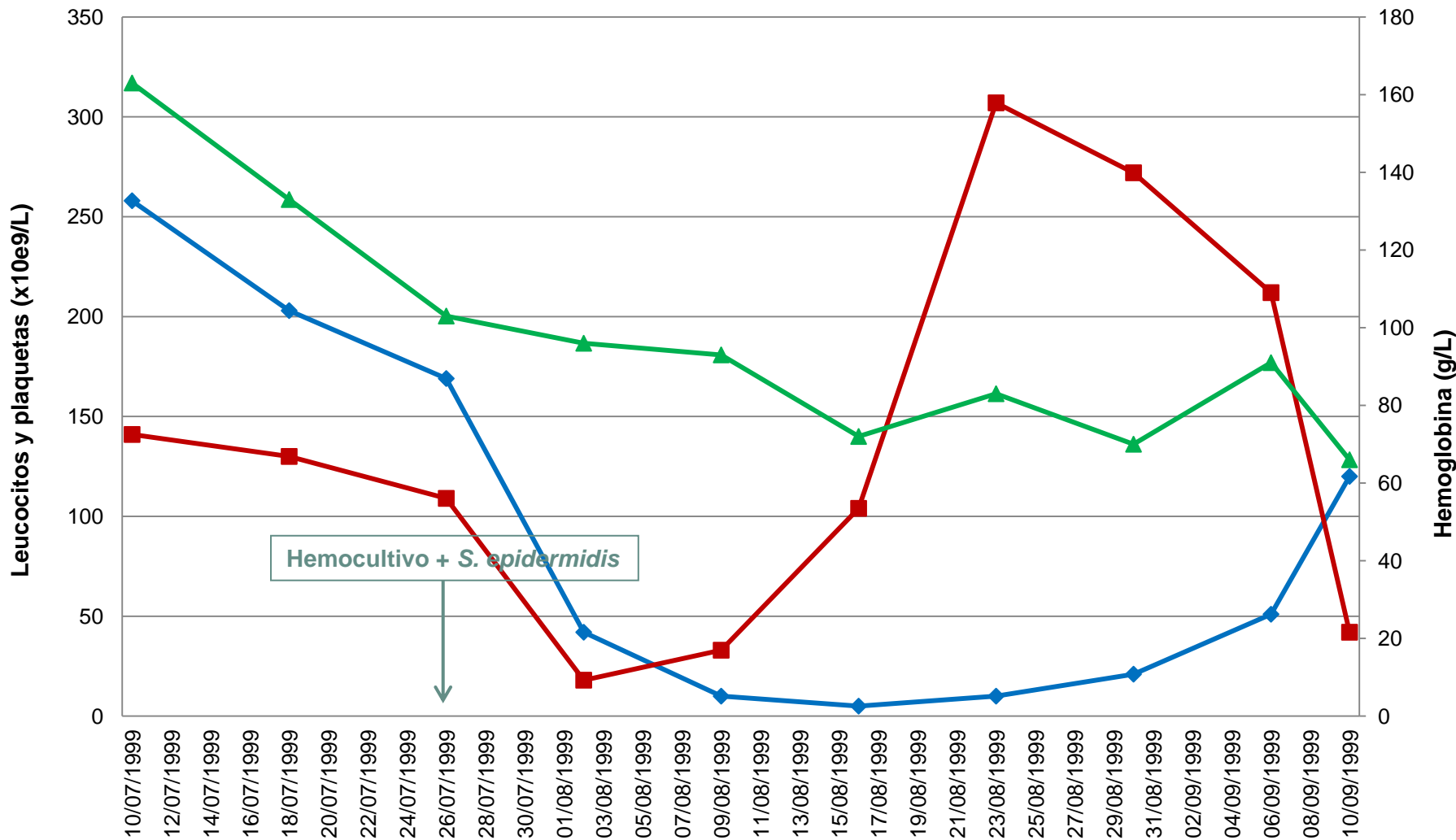
TC craneal: presencia de 4 lesiones nodulares de bajo coeficiente de atenuación en ambos hemisferios cerebelosos. Estructuras de la línea media conservadas. Sistema ventricular de tamaño y morfología normal.

RM craneal: imágenes de hiposeñal en T1 e IR y de hiposeñal en T2, DP y FLAIR sin efecto masa sobre las estructuras vecinas, localizadas en ambos hemisferios cerebelosos. Tronco cerebeloso de aspecto normal. Sistema ventricular de tamaño y posición normal.

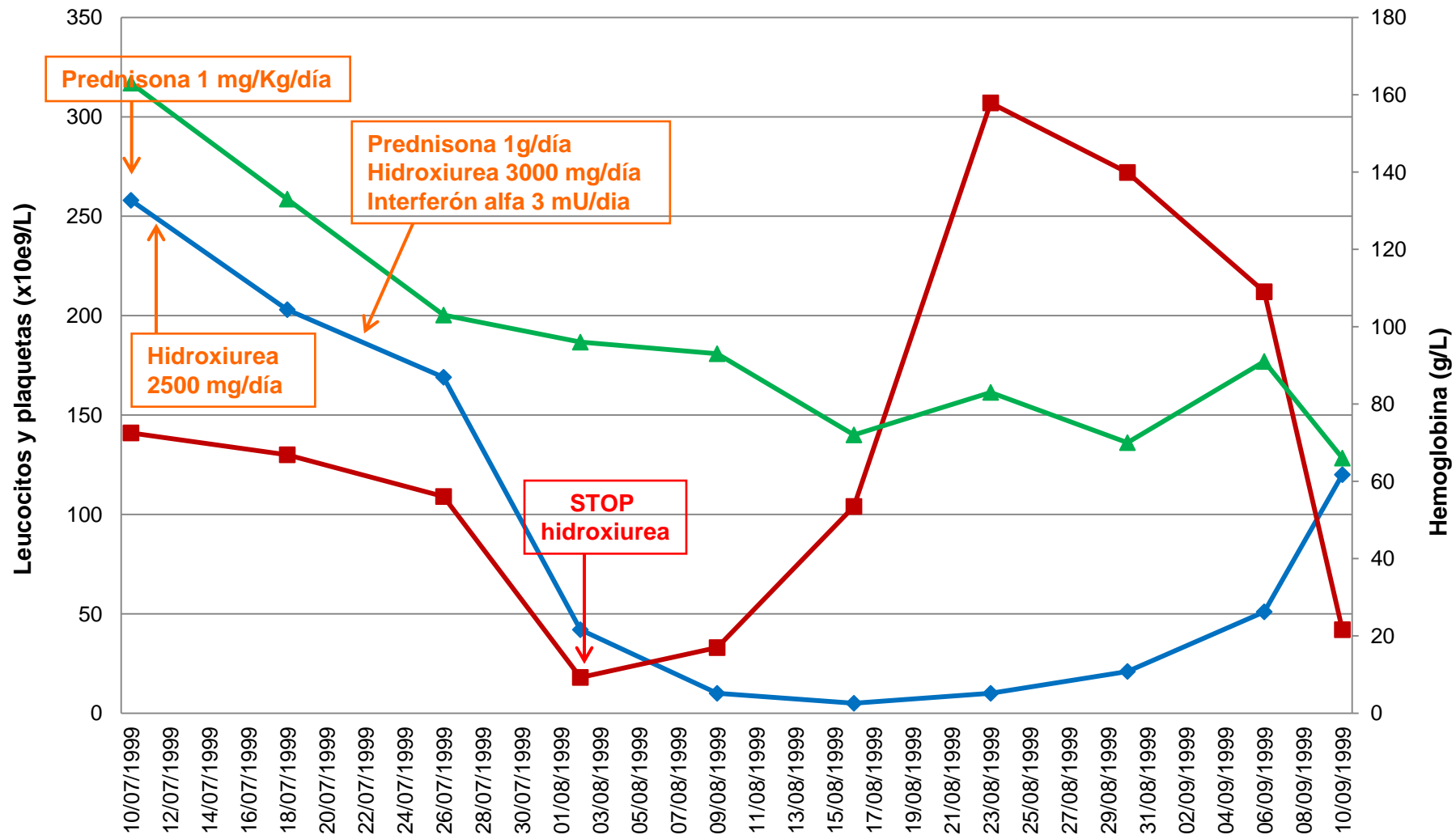
Punción lumbar: normal.



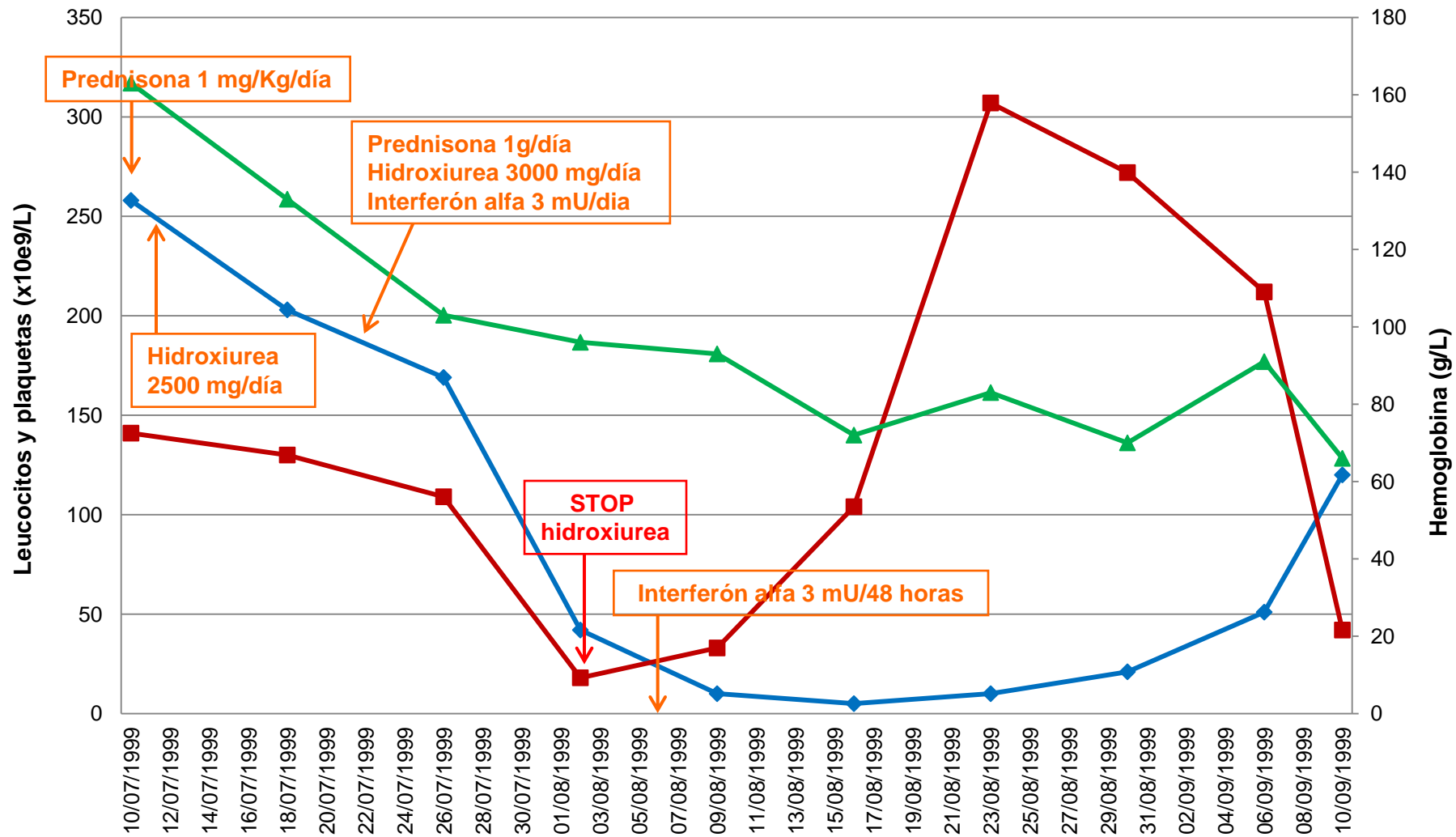
	10/07/1999	18/07/1999	26/07/1999	02/08/1999	09/08/1999	16/08/1999	23/08/1999	30/08/1999	06/09/1999	10/09/1999
Leucocitos	258	203	169	42	10	5	10	21	51	120
Plaquetas	141	130	109	18	33	104	307	272	212	42
Hemoglobina	163	133	103	96	93	72	83	70	91	66



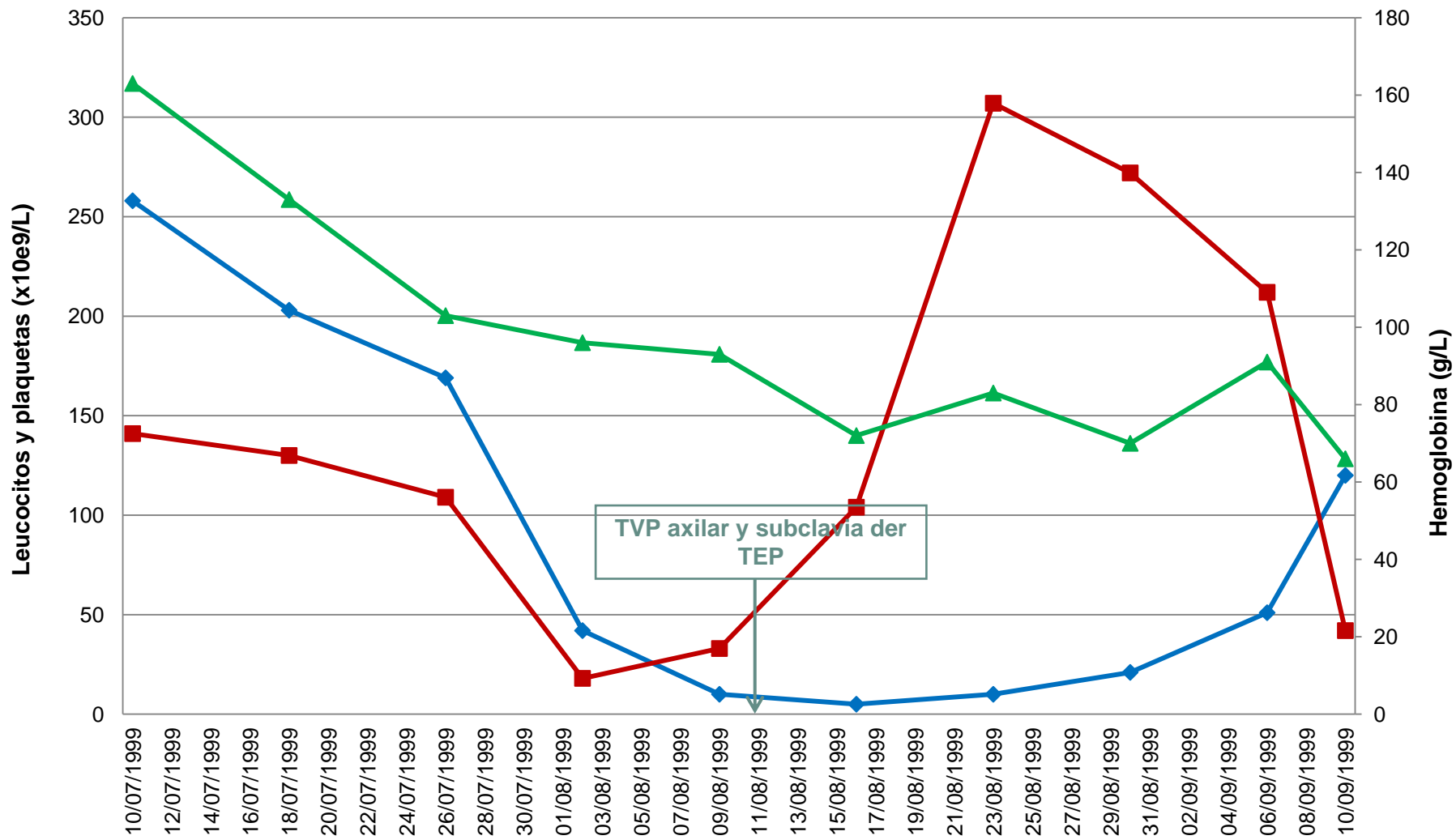
	10/07/1999	18/07/1999	26/07/1999	02/08/1999	09/08/1999	16/08/1999	23/08/1999	30/08/1999	06/09/1999	10/09/1999
Leucocitos	258	203	169	42	10	5	10	21	51	120
Plaquetas	141	130	109	18	33	104	307	272	212	42
Hemoglobina	163	133	103	96	93	72	83	70	91	66



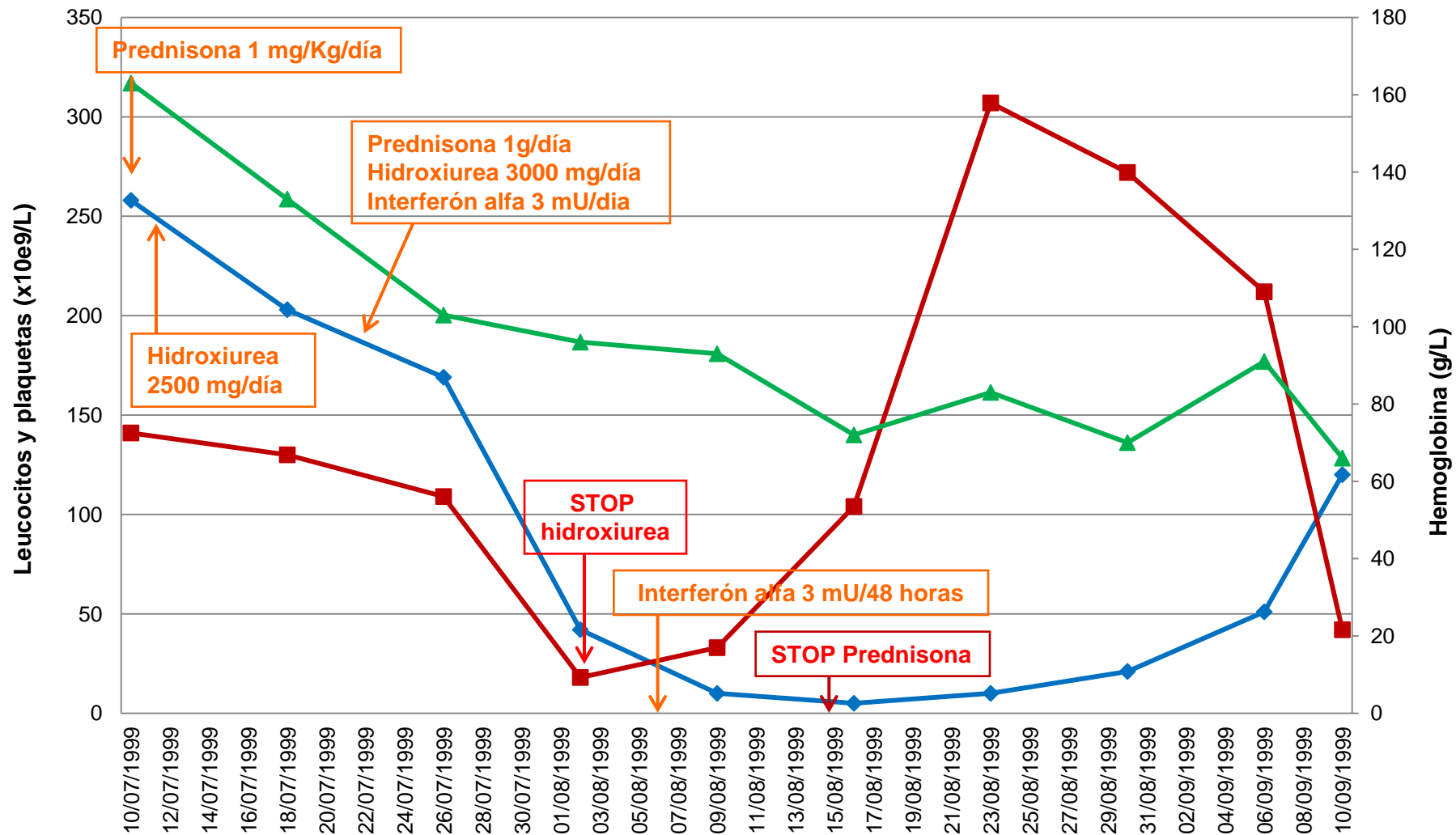
	10/07/1999	18/07/1999	26/07/1999	02/08/1999	09/08/1999	16/08/1999	23/08/1999	30/08/1999	06/09/1999	10/09/1999
Leucocitos	258	203	169	42	10	5	10	21	51	120
Plaquetas	141	130	109	18	33	104	307	272	212	42
Hemoglobina	163	133	103	96	93	72	83	70	91	66



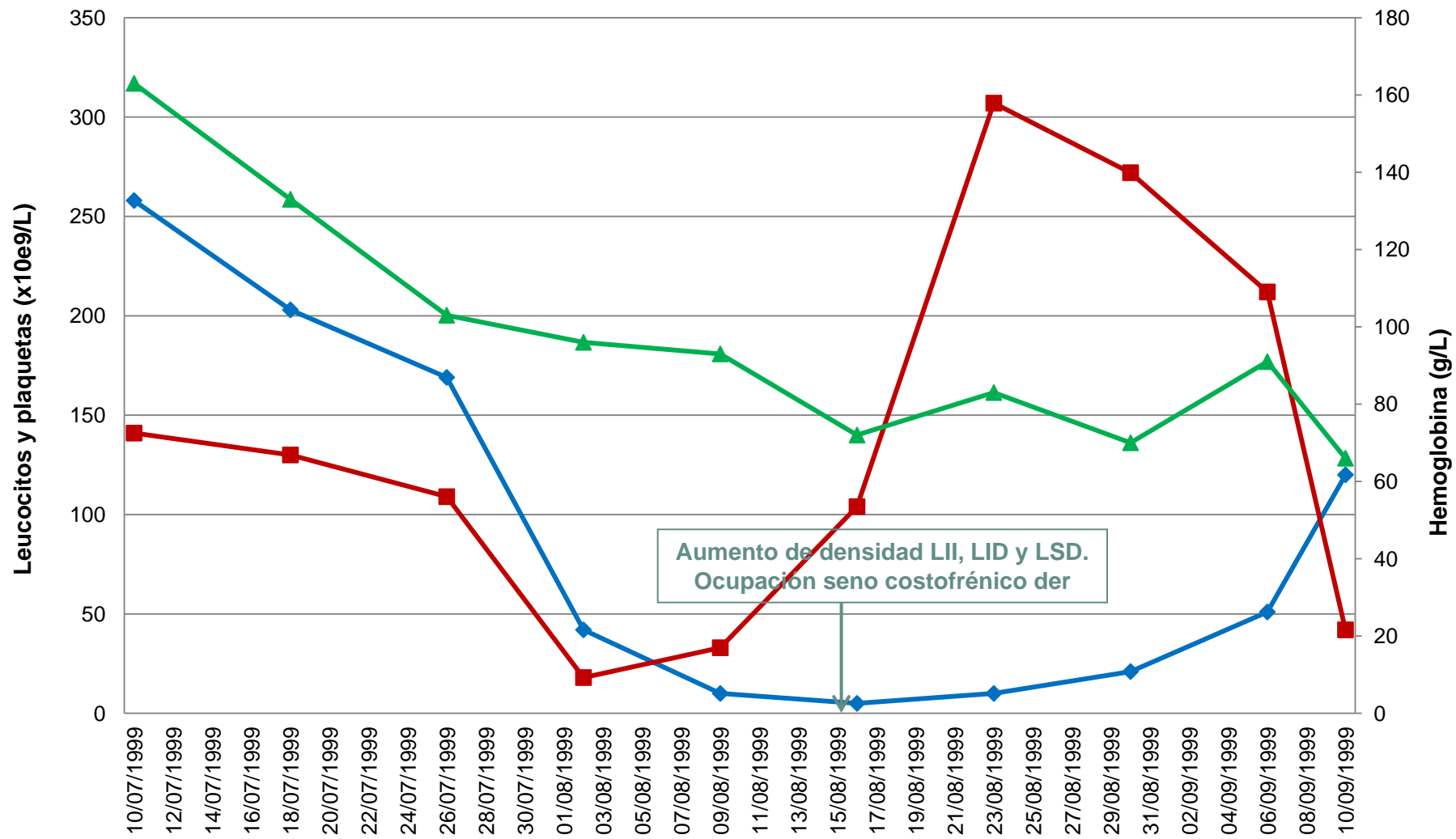
	10/07/1999	18/07/1999	26/07/1999	02/08/1999	09/08/1999	16/08/1999	23/08/1999	30/08/1999	06/09/1999	10/09/1999
Leucocitos	258	203	169	42	10	5	10	21	51	120
Plaquetas	141	130	109	18	33	104	307	272	212	42
Hemoglobina	163	133	103	96	93	72	83	70	91	66



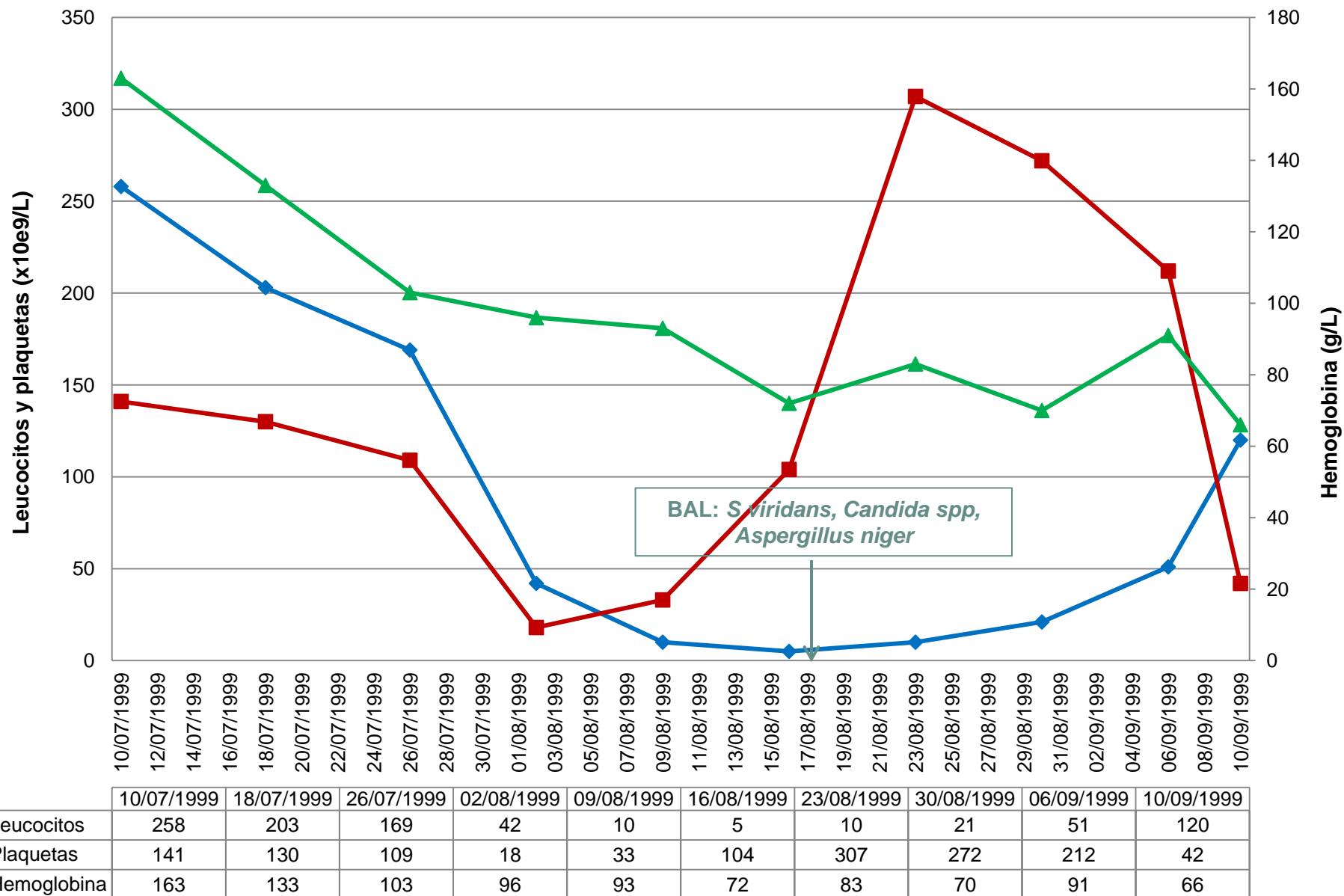
	10/07/1999	18/07/1999	26/07/1999	02/08/1999	09/08/1999	16/08/1999	23/08/1999	30/08/1999	06/09/1999	10/09/1999
Leucocitos	258	203	169	42	10	5	10	21	51	120
Plaquetas	141	130	109	18	33	104	307	272	212	42
Hemoglobina	163	133	103	96	93	72	83	70	91	66

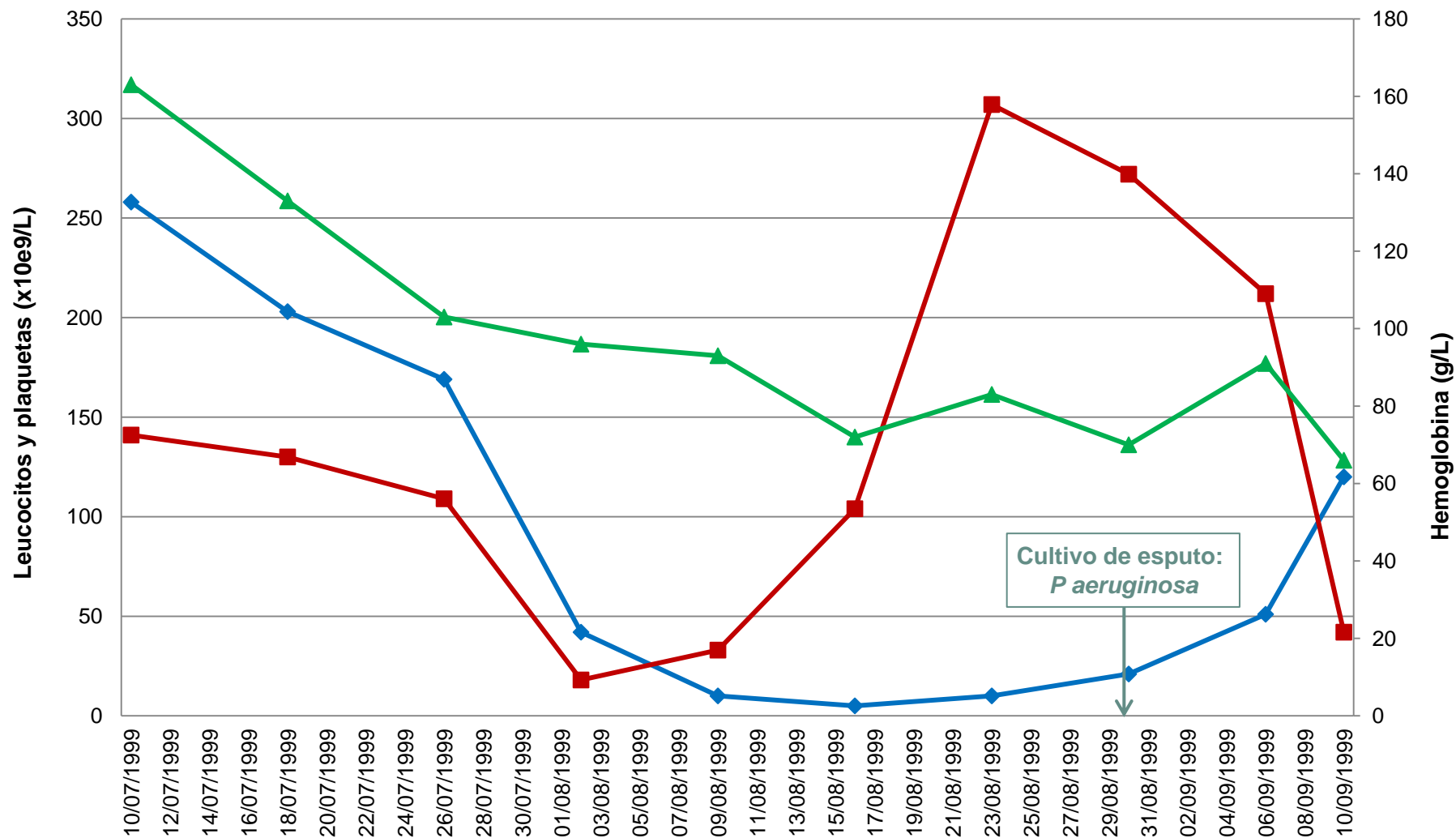


	10/07/1999	18/07/1999	26/07/1999	02/08/1999	09/08/1999	16/08/1999	23/08/1999	30/08/1999	06/09/1999	10/09/1999
Leucocitos	258	203	169	42	10	5	10	21	51	120
Plaquetas	141	130	109	18	33	104	307	272	212	42
Hemoglobina	163	133	103	96	93	72	83	70	91	66

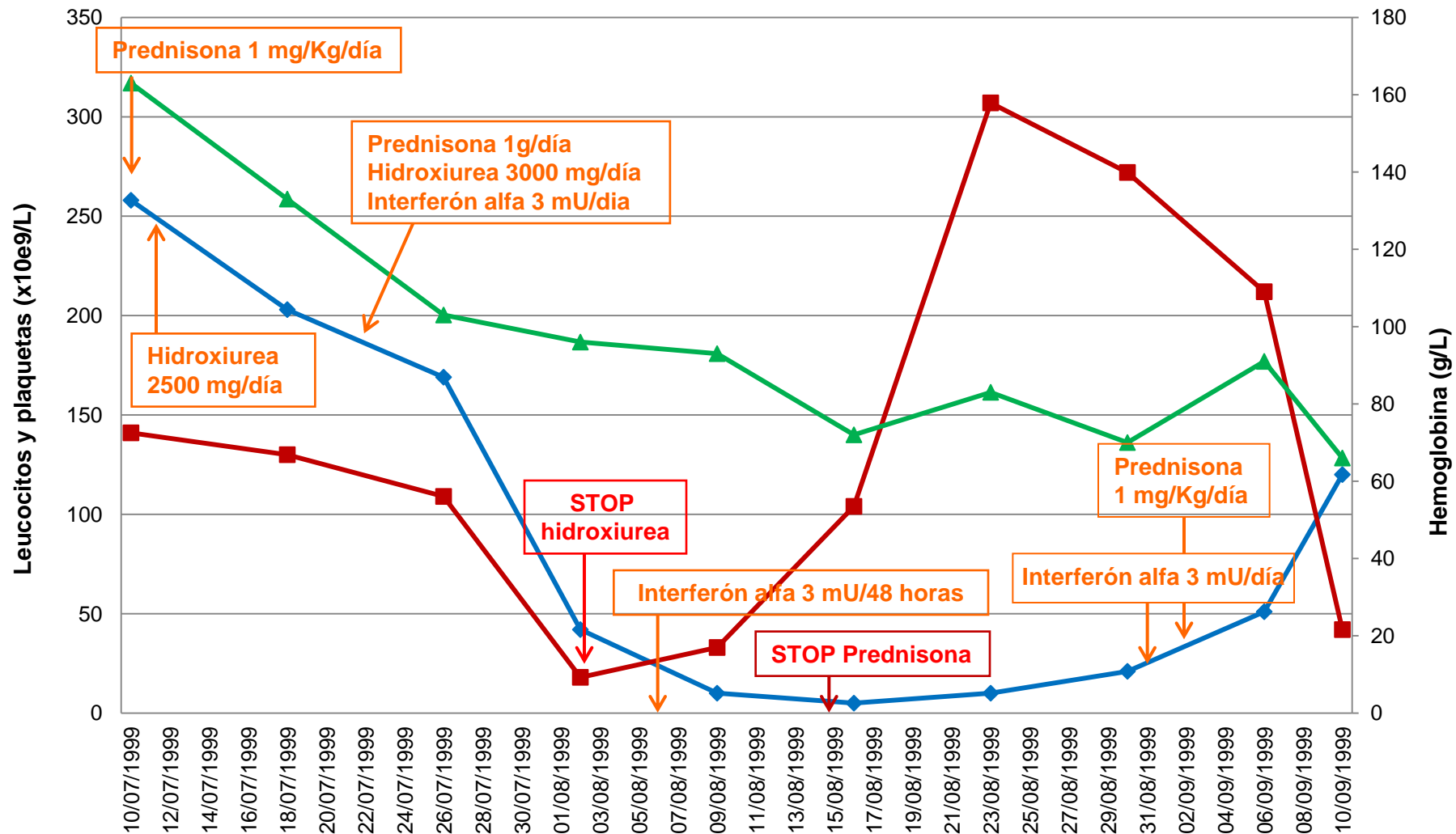


	10/07/1999	18/07/1999	26/07/1999	02/08/1999	09/08/1999	16/08/1999	23/08/1999	30/08/1999	06/09/1999	10/09/1999
Leucocitos	258	203	169	42	10	5	10	21	51	120
Plaquetas	141	130	109	18	33	104	307	272	212	42
Hemoglobina	163	133	103	96	93	72	83	70	91	66

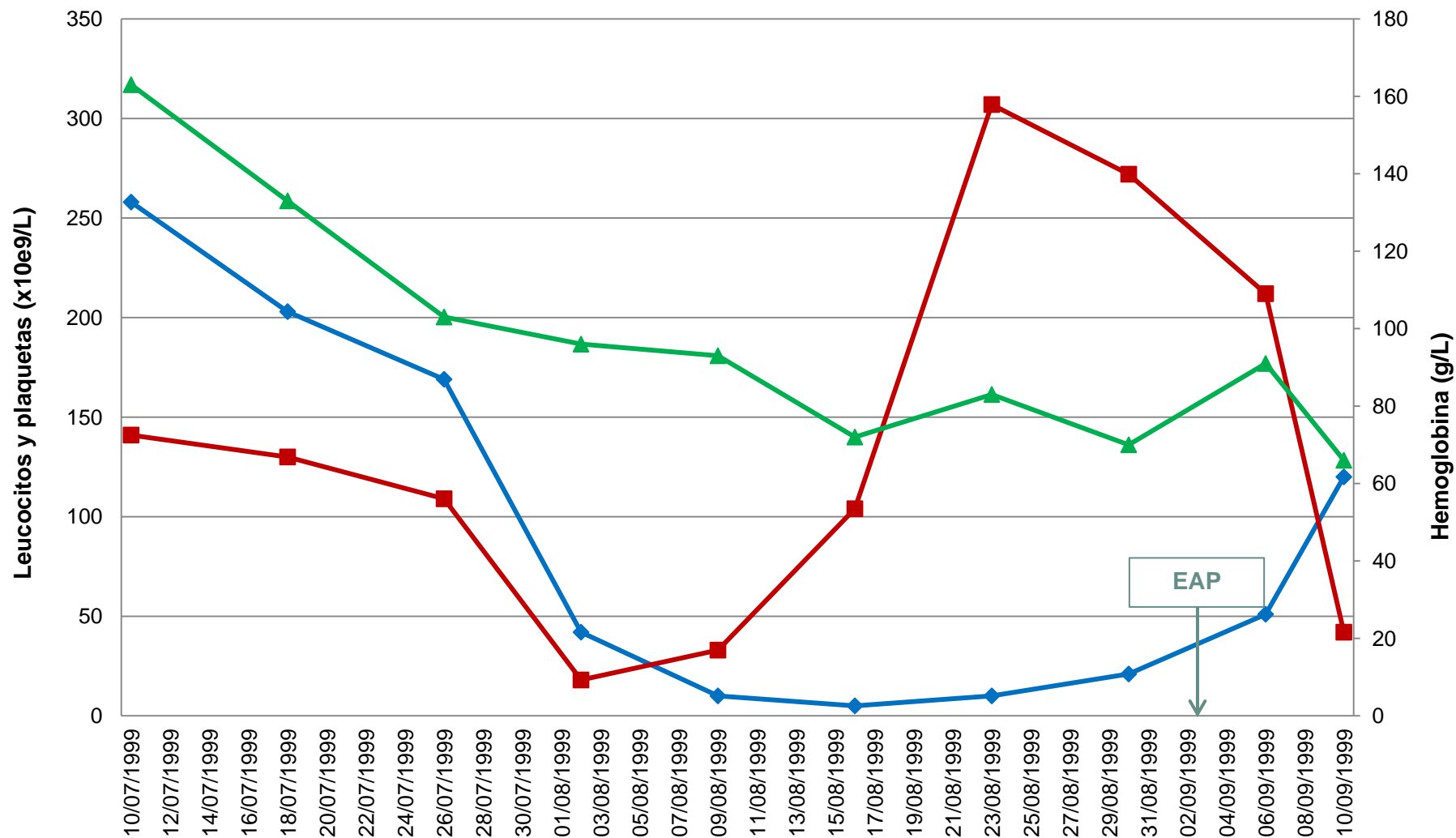




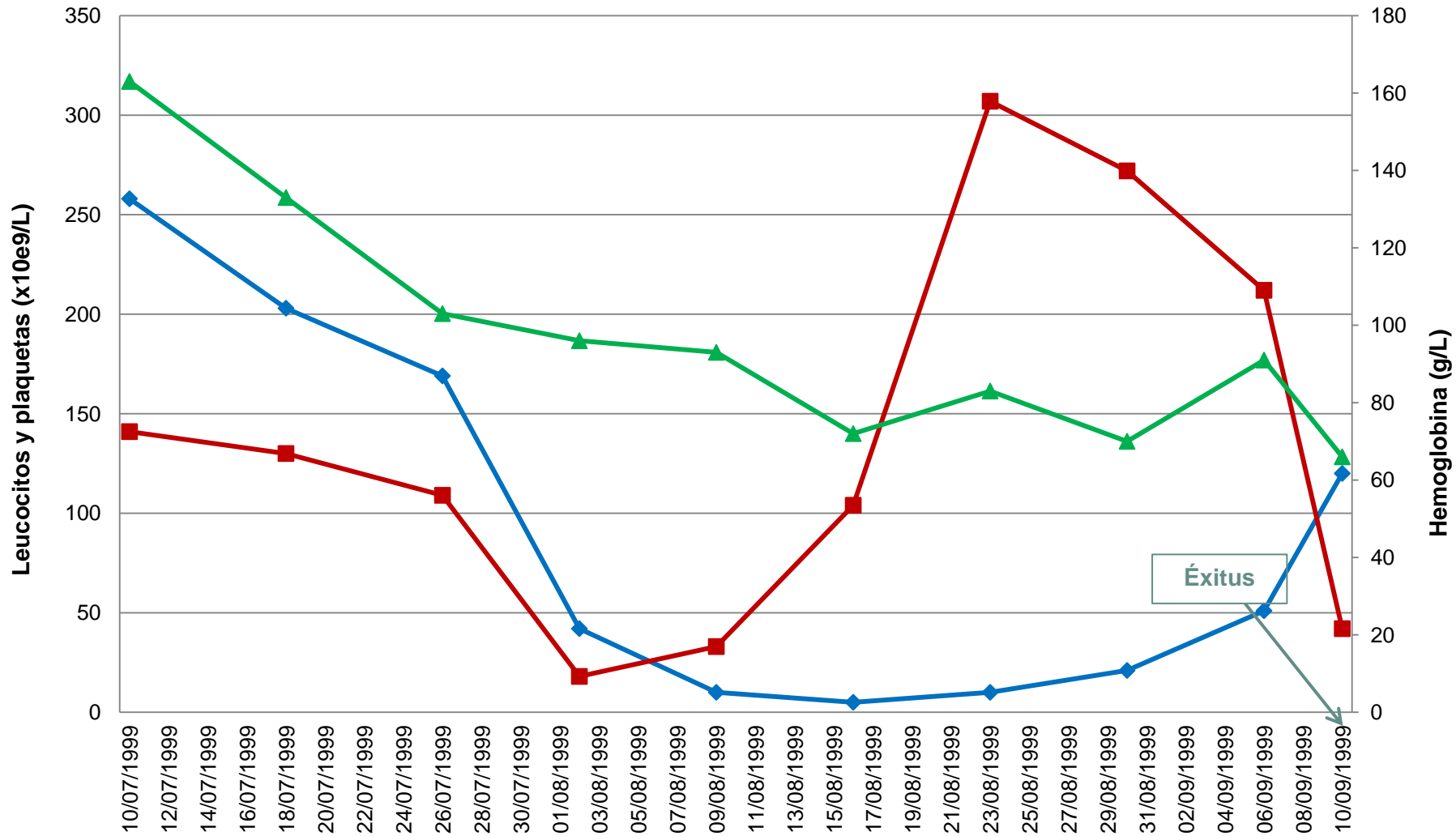
	10/07/1999	18/07/1999	26/07/1999	02/08/1999	09/08/1999	16/08/1999	23/08/1999	30/08/1999	06/09/1999	10/09/1999
Leucocitos	258	203	169	42	10	5	10	21	51	120
Plaquetas	141	130	109	18	33	104	307	272	212	42
Hemoglobina	163	133	103	96	93	72	83	70	91	66



	10/07/1999	18/07/1999	26/07/1999	02/08/1999	09/08/1999	16/08/1999	23/08/1999	30/08/1999	06/09/1999	10/09/1999
Leucocitos	258	203	169	42	10	5	10	21	51	120
Plaquetas	141	130	109	18	33	104	307	272	212	42
Hemoglobina	163	133	103	96	93	72	83	70	91	66

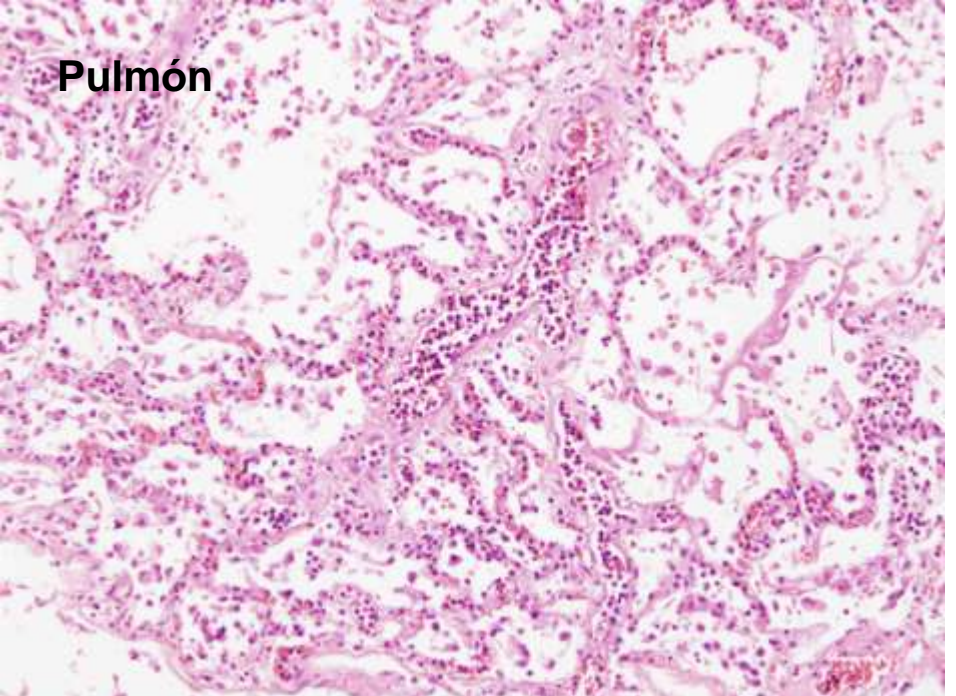


	10/07/1999	18/07/1999	26/07/1999	02/08/1999	09/08/1999	16/08/1999	23/08/1999	30/08/1999	06/09/1999	10/09/1999
Leucocitos	258	203	169	42	10	5	10	21	51	120
Plaquetas	141	130	109	18	33	104	307	272	212	42
Hemoglobina	163	133	103	96	93	72	83	70	91	66

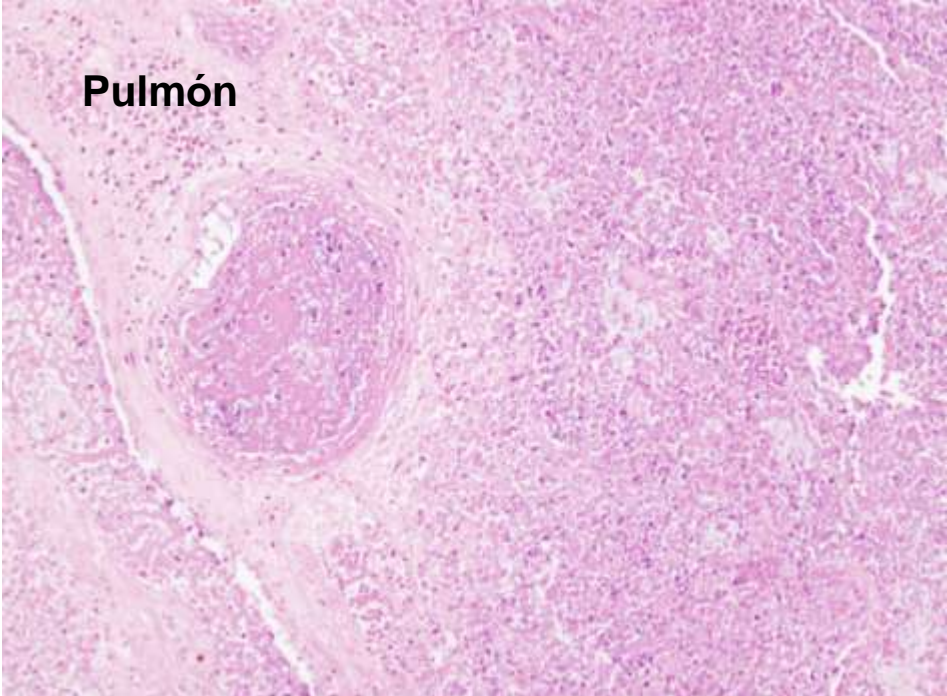


	10/07/1999	18/07/1999	26/07/1999	02/08/1999	09/08/1999	16/08/1999	23/08/1999	30/08/1999	06/09/1999	10/09/1999
Leucocitos	258	203	169	42	10	5	10	21	51	120
Plaquetas	141	130	109	18	33	104	307	272	212	42
Hemoglobina	163	133	103	96	93	72	83	70	91	66

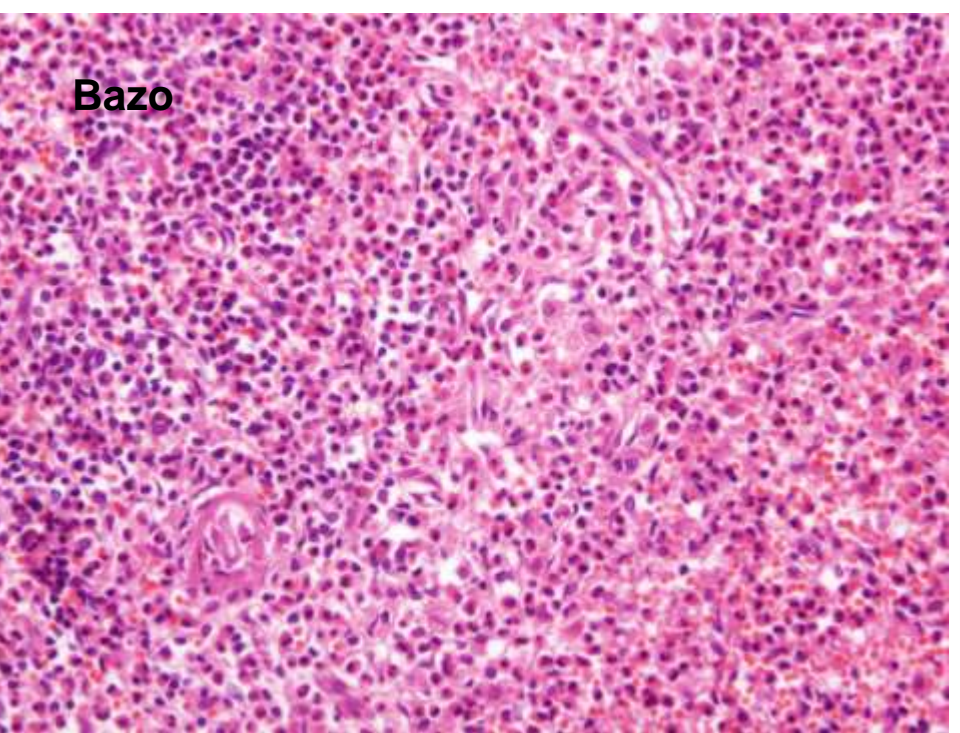
Pulmón



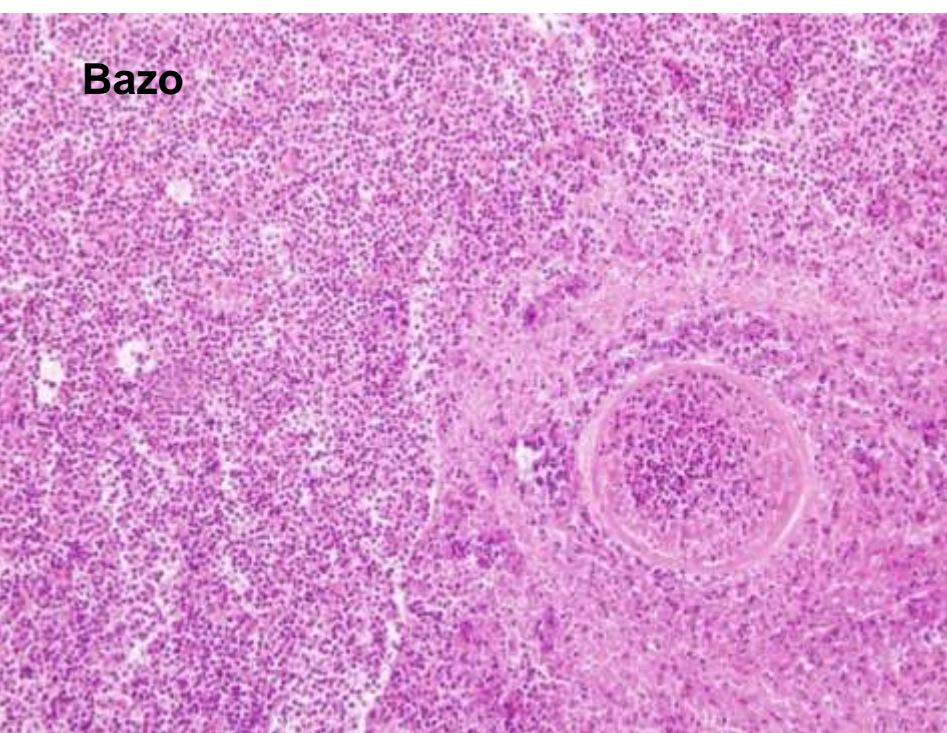
Pulmón



Bazo



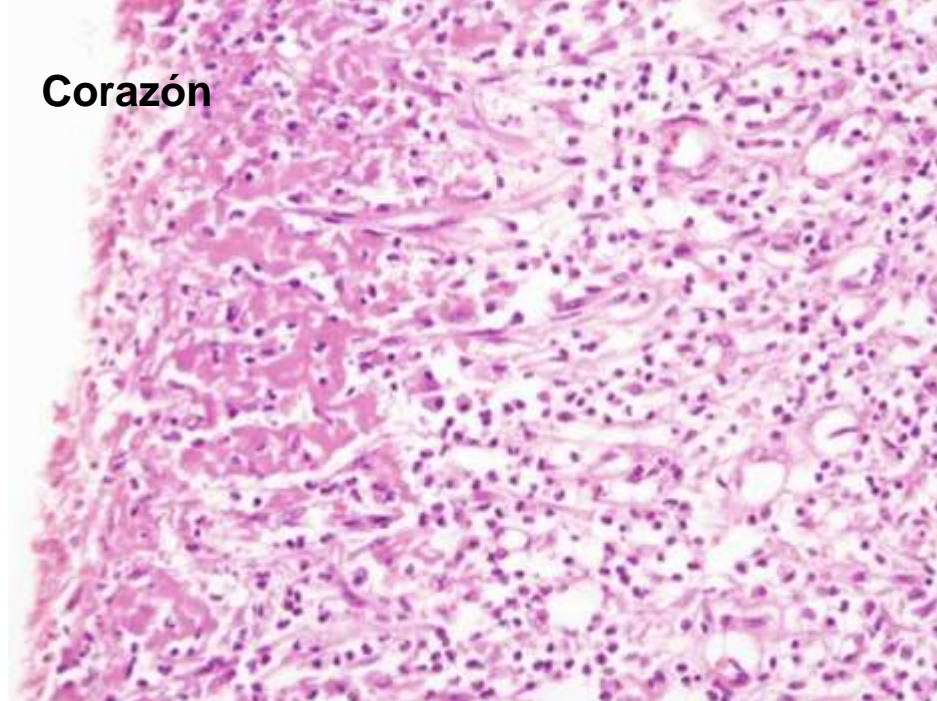
Bazo



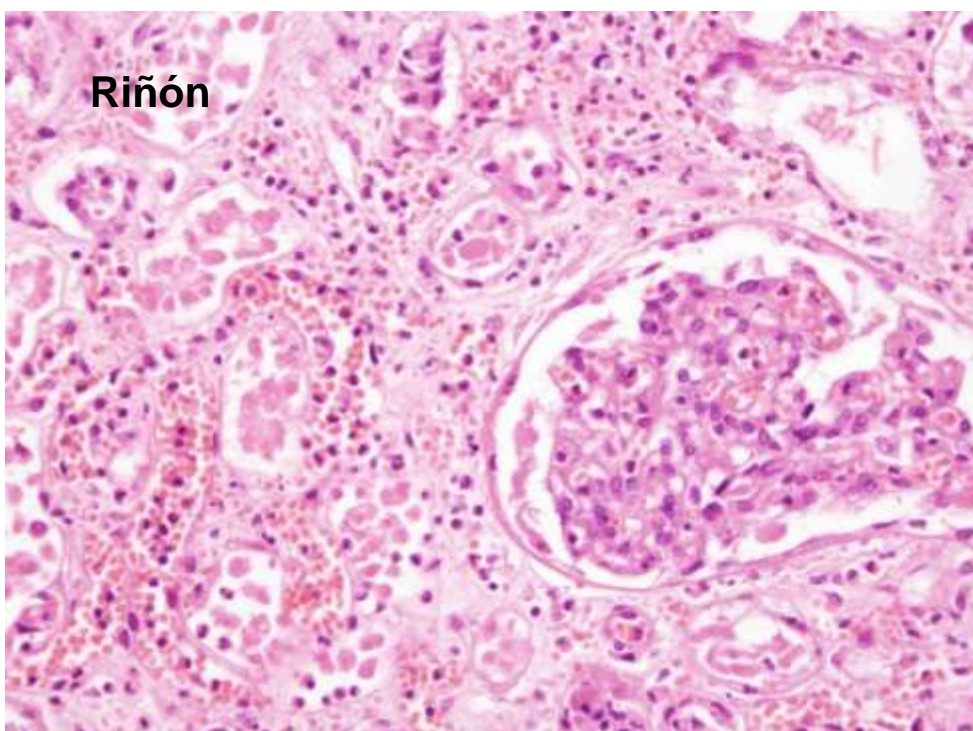
Corazón



Corazón



Riñón



Síndromes hipereosinofílicos



- Eosinofilia persistente > 1500/mm³.
- Incidencia anual: 1/100000 habitantes.
- Mediana de edad: 5^a década de la vida.
- Predominio en varones (9:1) en los casos asociados a reordenamiento PDGFRA.
- Manifestaciones clínicas mayoritariamente secundarias a la lesión tisular

daño oxidativo
actividad protrombótica
estimulación de la fibrosis

Producto del contenido de los gránulos eosinófilos

Síntesis de diversas citocinas (IL-2, IL-3 y GM-CSF)

proteína básica principal
proteína catiónica eosinofílica
neurotoxina derivada de eosinófilos

Manifestaciones clínicas



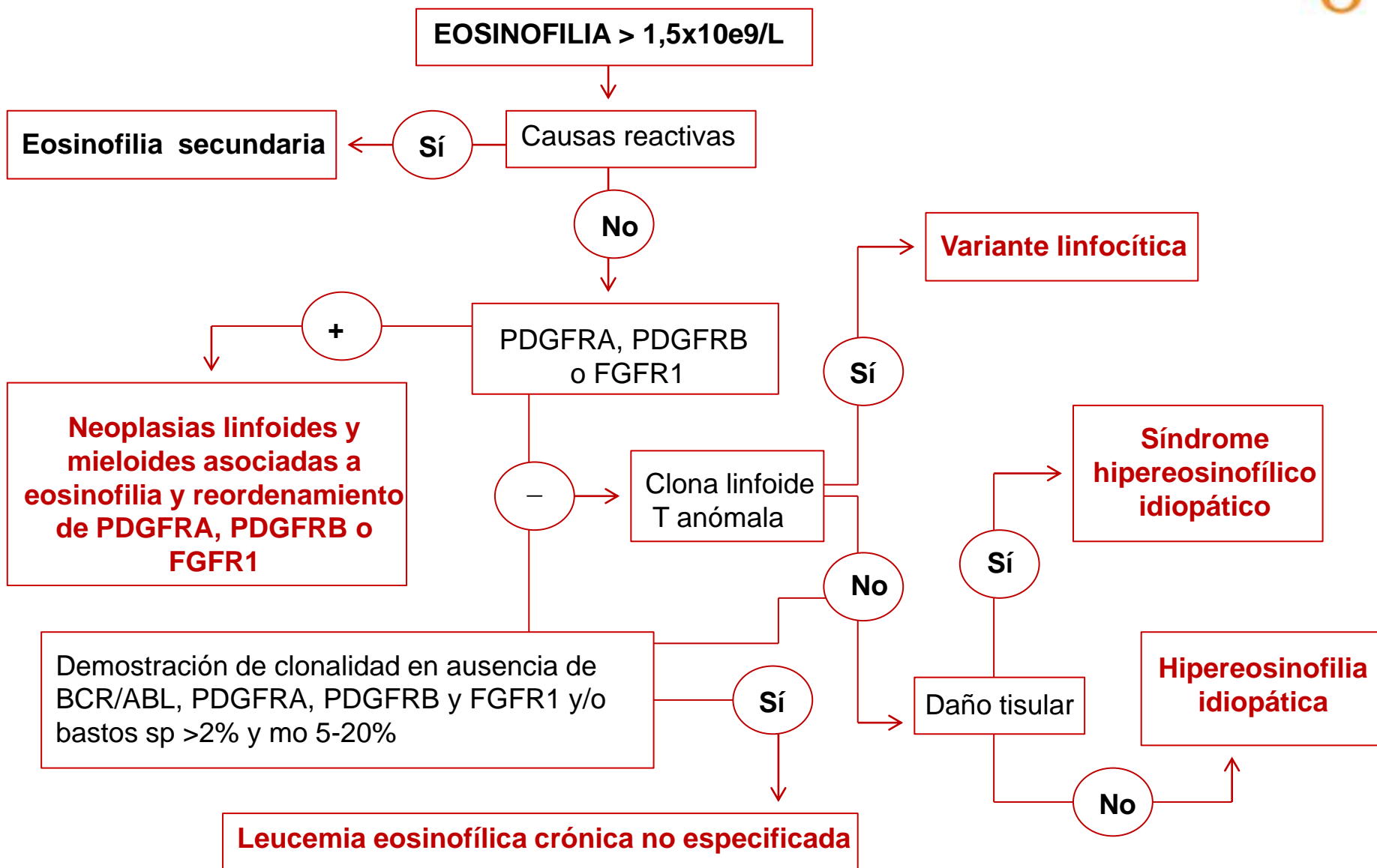
	Frecuencia	Manifestaciones
Hematológicas	100%	Eosinofilia Anemia (50%) Trombopenia > Trombocitosis
Cutáneas	70%	Urticaria y fenómenos de angioedema Lesiones nodulares y pápulas Úlceras en mucosas
Pulmonares	44%	Tos Infiltrados pulmonares
Gastrointestinales	38%	Diarrea
Cardíacas	20%-50%	Trombosis intraventricular Miocardiopatía restrictiva Insuficiencia valvular
Neurológicas	20-50%	Neuropatía periférica Enfermedad tromboembólica de origen cardíaco Encefalopatía
Esplenomegalia	10-40%	Hiperesplenismo Infartos esplénicos
Reumatólogicas	Ocasional	Artritis Fenómeno de Raynaud



2008 WHO Classification of Myeloid Malignancies

1. Acute myeloid leukemia and related disorders
2. Myeloproliferative neoplasms (MPN)
 - Chronic myelogenous leukemia, *BCR-ABL1* positive
 - Chronic neutrophilic leukemia
 - Polycythemia vera
 - Primary myelofibrosis
 - Essential thrombocythemia
 - **Chronic eosinophilic leukemia, not otherwise specified**
 - Mastocytosis
 - Myeloproliferative neoplasms, unclassifiable
3. Myelodysplastic syndromes (MDS)
 - Refractory cytopenia with uni-lineage dysplasia
 - Refractory anemia
 - Refractory neutropenia
 - Refractory thrombocytopenia
 - Refractory anemia with ring sideroblasts
 - Refractory cytopenia with multilineage dysplasia
 - Refractory anemia with excess blasts (RAEB)
 - RAEB-1
 - RAEB-2
 - Myelodysplastic syndrome with isolated del(5q)
 - Myelodysplastic syndrome, unclassifiable
4. MDS/MPN
 - Chronic myelomonocytic leukemia
 - CMML-1
 - CMML-2
 - Atypical chronic myeloid leukemia, *BCR-ABL1* negative
 - Juvenile myelomonocytic leukemia
 - MDS/MPN, unclassifiable
 - Refractory anemia with ring sideroblasts and thrombocytosis (RARS-T)
5. Myeloid and lymphoid neoplasms associated with eosinophilia and abnormalities of *PDGFRA*, *PDGFRB*, or *FGFR1*
 - Myeloid and lymphoid neoplasms associated with *PDGFRA* rearrangement
 - Myeloid neoplasms associated with *PDGFRB* rearrangement
 - Myeloid and lymphoid neoplasms associated with *FGFR1* abnormalities

Algoritmo diagnóstico

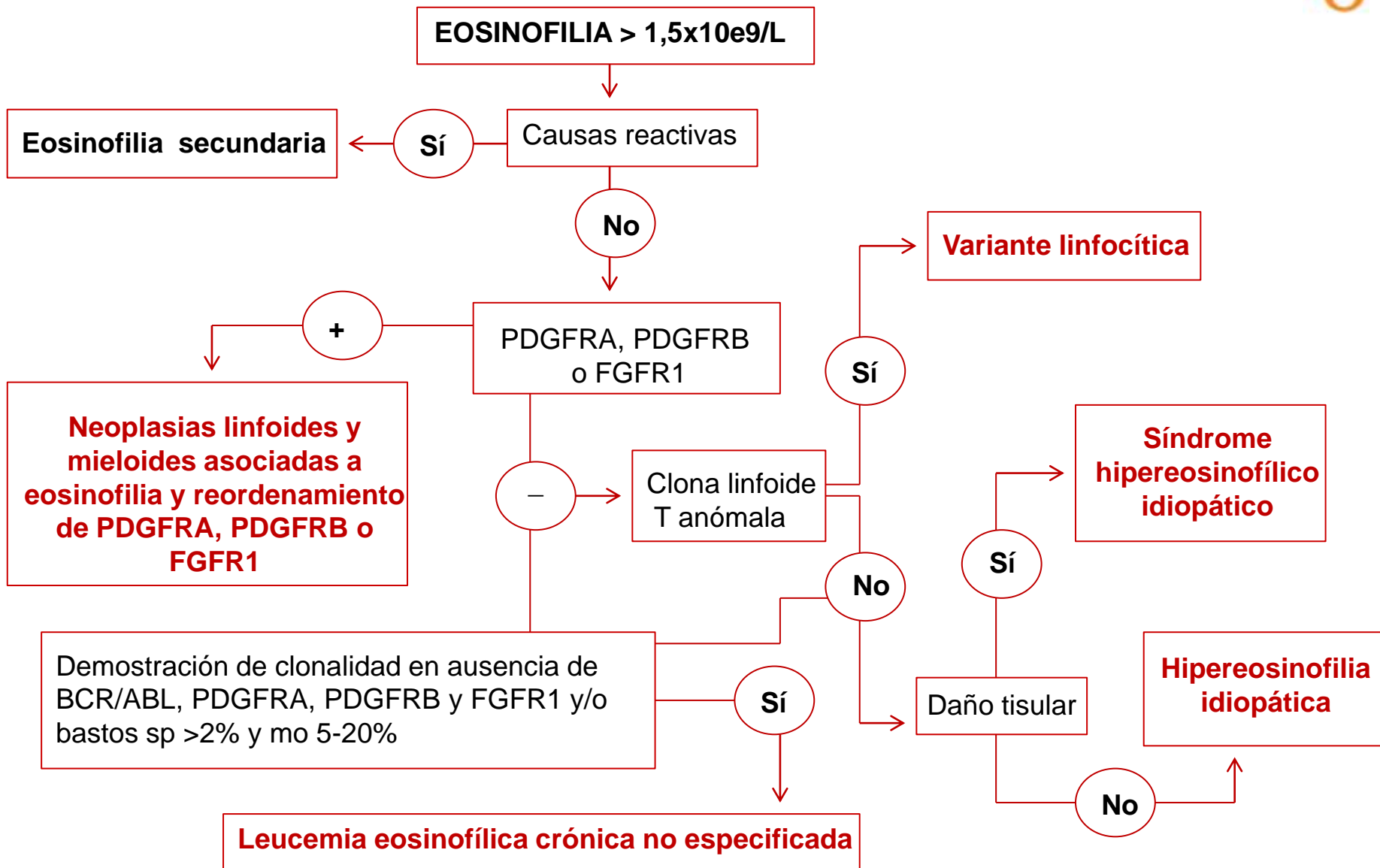


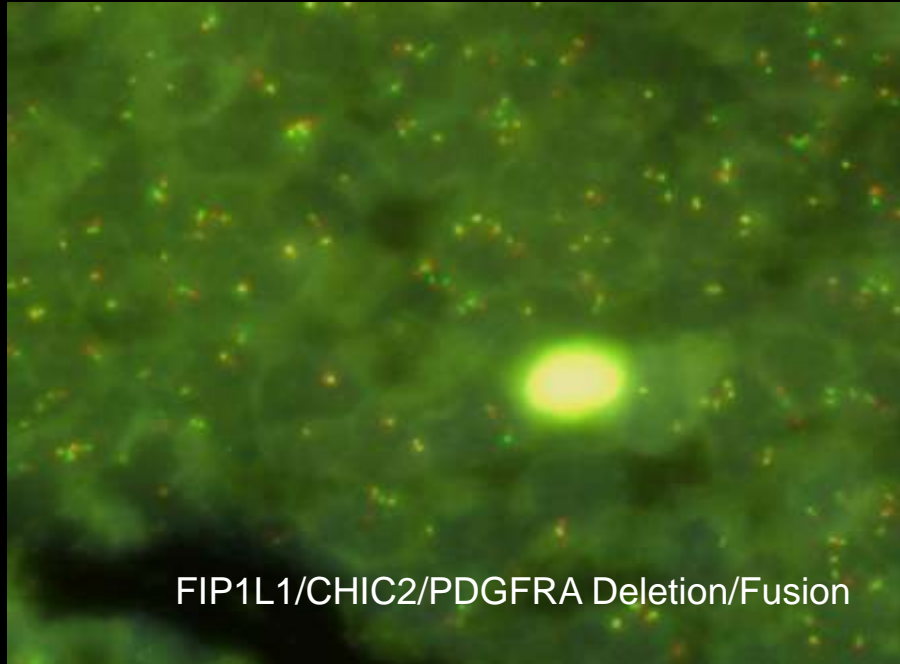


Causas eosinofilia reactiva

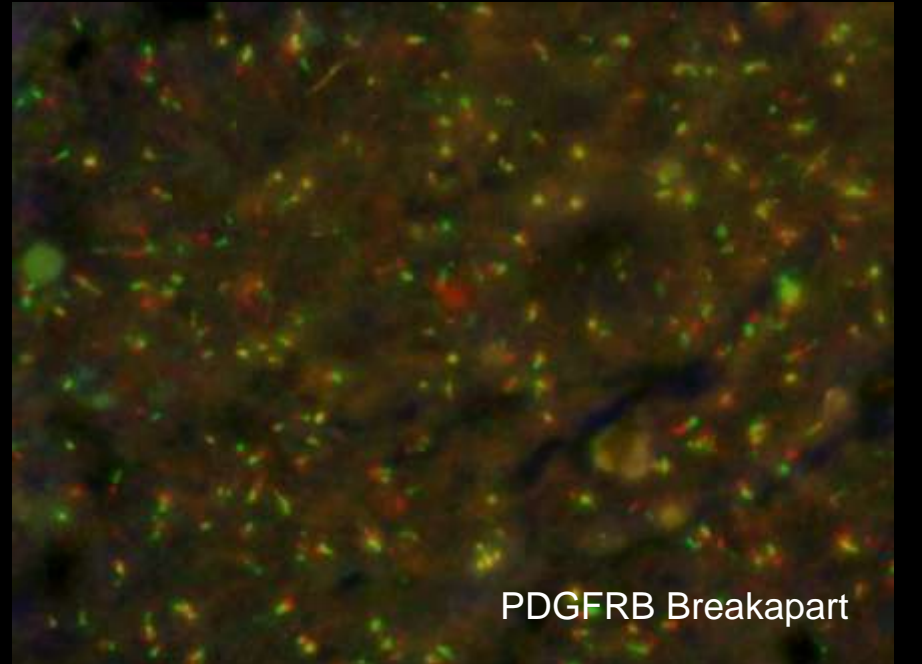
Enfermedades de etiología alérgica	Asma bronquial, dermatitis atópica, reacciones alérgicas a fármacos
Vasculitis y trastornos autoinmunes	Enfermedad de Churg-Strauss, granulomatosis de Wegener, LES, enfermedad inflamatoria intestinal, sarcoidosis.
Infección parasitaria invasiva	<i>Strongyloides stercoralis</i> , <i>Toxocara canis</i> , filariasis...
Enfermedades pulmonares	Neumonía eosinófila, aspergilosis broncopulmonar alérgica...
Enfermedades gastrointestinales	Gastroenteritis eosinofílica
Síndromes linfoproliferativos	Linfoma de Hodgkin, linfoma linfoblástico T, leucemia- linfoma T del adulto.
Síndromes mieloproliferativos	LAM (M2,M4Eo), SMD, mastocitosis sistémica, SMPc, LMMC...
Formas paraneoplásicas	

Algoritmo diagnóstico

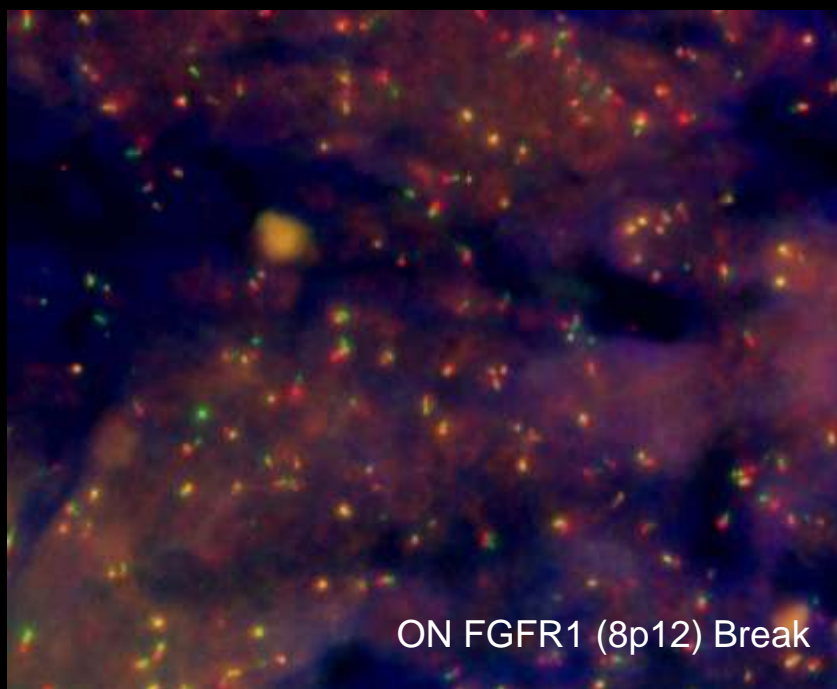




FIP1L1/CHIC2/PDGFR α Deletion/Fusion

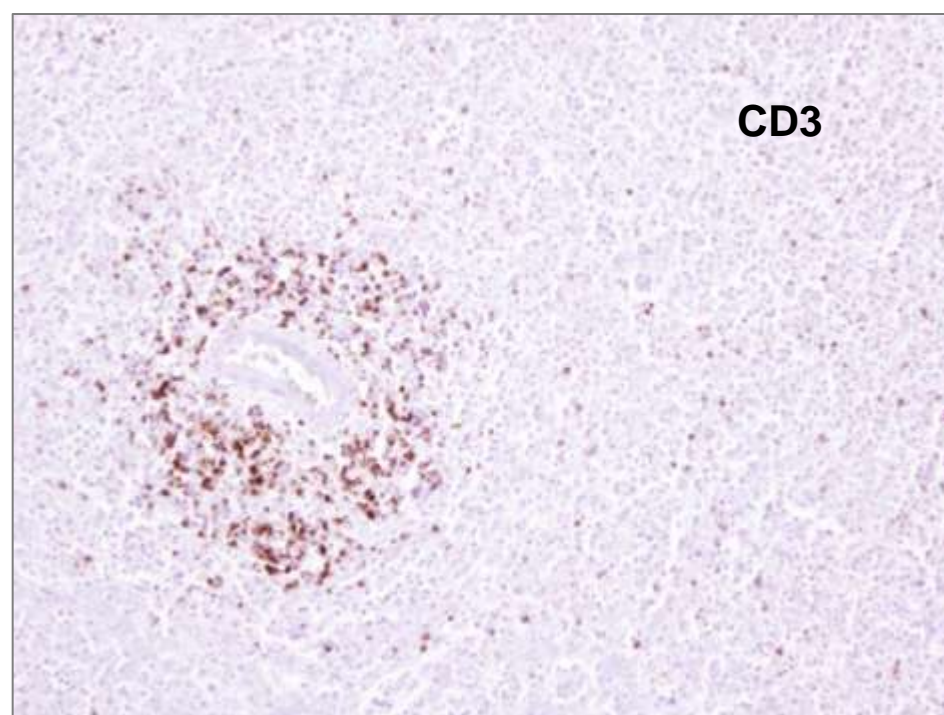


PDGFR β Breakapart

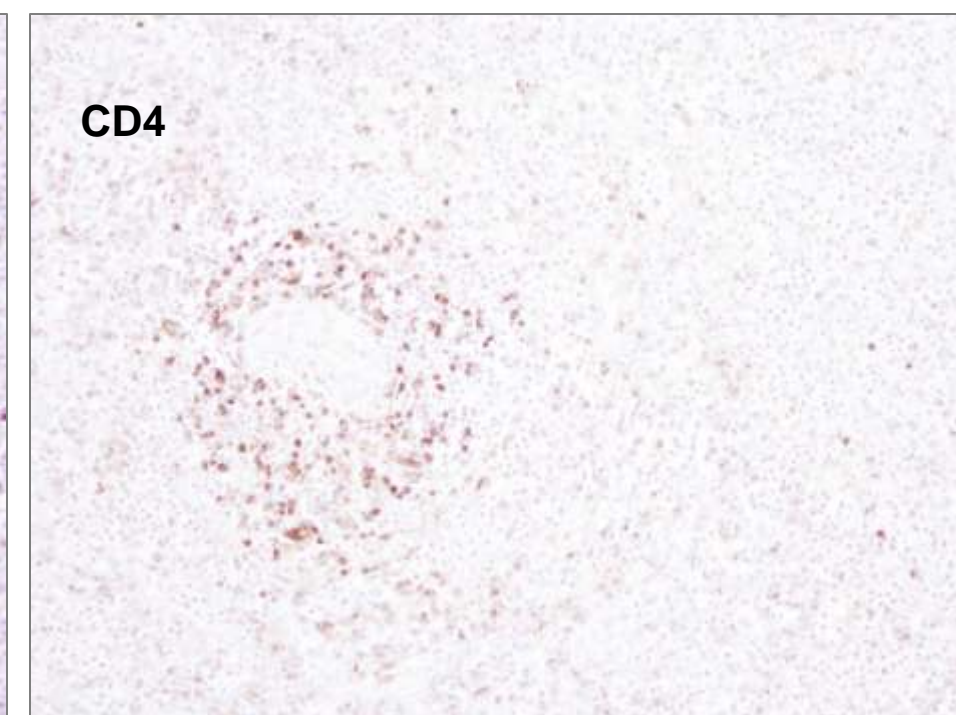


ON FGFR1 (8p12) Break

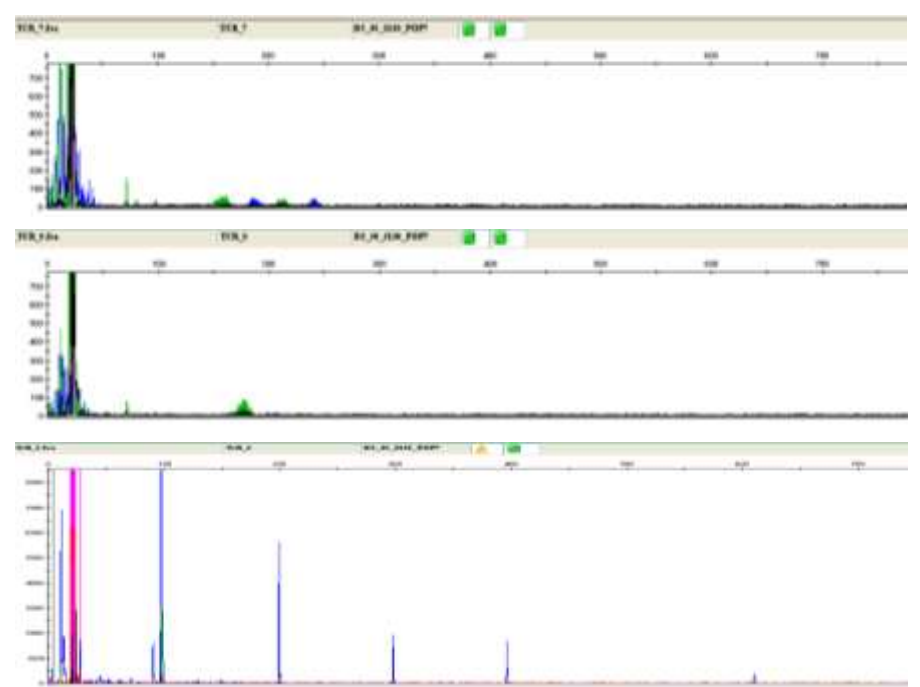
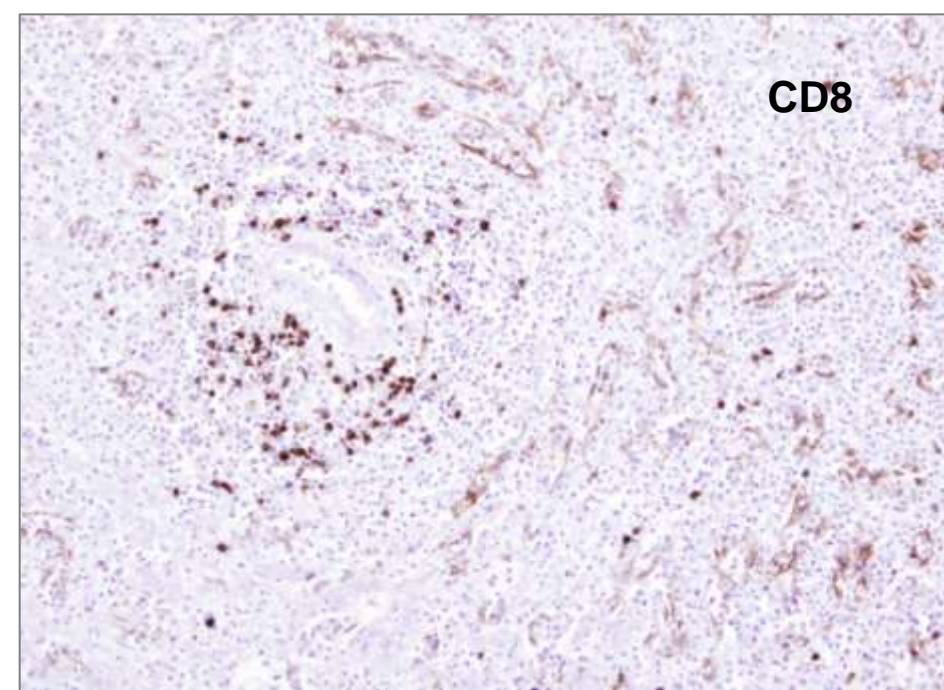
CD3



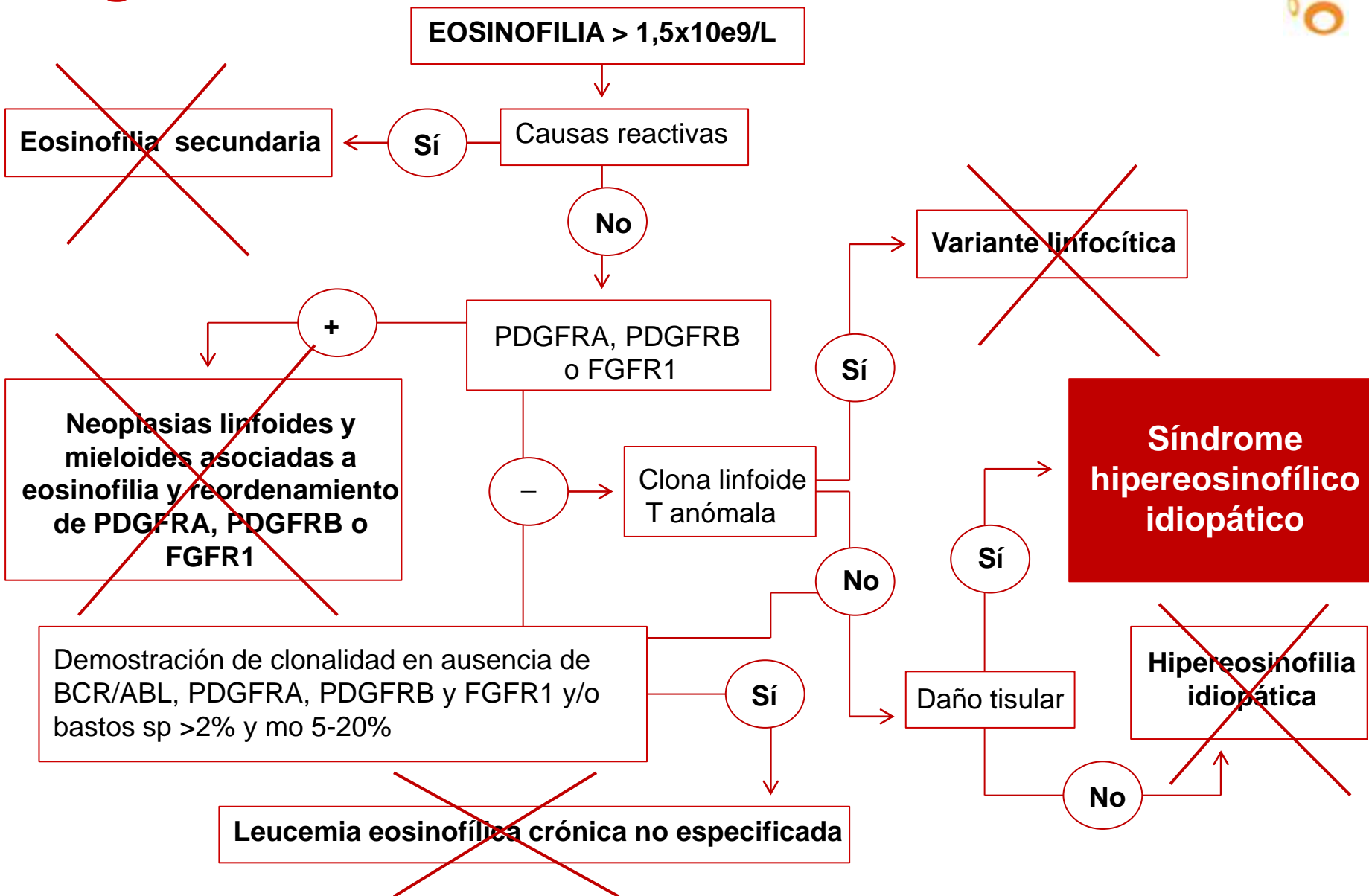
CD4



CD8



Diagnóstico



Tratamiento I



Neoplasias mieloproliferativas crónicas asociadas a eosinofilia y reordenamiento de PDGFRA, PDGFRB

Imatinib

- Respuesta rápida con dosis bajas (100 mg/día).
- Dosis mayores (400 mg/día) en casos con reordenamiento PDGFRA variante o PDGFRB.
- Dosis de mantenimiento (100-200 mg/semana).
- Asociar prednisona durante 7-10 días, en pacientes con afección cardíaca previa o niveles séricos elevados de troponina.
- Mutaciones que confieren resistencia a imatinib (T674I).
- Discontinuación*?

Tratamiento I



Neoplasias linfoides y mieloides asociadas a eosinofilia y reordenamiento de FGFR1

- Quimioterapia intensiva + aloTPH

Síndrome hipereosinofílico idiopático y leucemia eosinofílica crónica

- 1^a línea: corticosteroides (1 mg/Kg/día)
- 2^a línea:
 - hidroxiurea
 - interferón alfa
 - imatinib (> 400 mg/día)*

Variante linfocítica de la hipereosinofilia

- 1^a línea: Corticosteroides
- 2^a línea: Interferón alfa

Futuros tratamientos



- **Ac anti-IL-5**
 - Mepolizumab*
 - Reslizumab**
- **Ac anti-CD52**
 - Alemtuzumab***
- **Anti-JAK2**
 - Ruxolitinib**** LEC, NOS con reordenamiento PCM1-JAK2 t(8;9)(p22;p24).



*J Allergy Clin Immunol 2013; 131: 461-467

**J Allergy Clin Immunol 2012; 129: 456-463

*** Clin Lymphoma Myeloma Leuk 2013; 13: 287-291

****J Clin Oncol 2013; 31: e269-e271

Otros tratamientos



- **Leucaféresis**
 - Recuentos leucocitarios elevados
- **Esplenectomía**
 - Dolor abdominal, infartos esplénicos
- **Fármacos anticoagulantes y antiplaquetares**
 - Prevención eventos trombóticos
- **Cirugía cardíaca**
 - Endomiocardiectomía
 - Reparación o recambio valvular (bioprótesis)

A black and white scanning electron micrograph showing a dense cluster of various types of blood cells, including red blood cells and larger, more irregularly shaped cells like platelets or monocytes.

¡GRACIAS!

Citogenética: Isabel Granada
Neus Ruíz-Xivillé
Marisol Xandri
Adela Cisneros
Diana Campos
Nani Santafé
Carmen Villena

Citología: Fuensanta Millá
José Tomás Navarro
Biología Molecular: Lurdes Zamora
Silvia Marcè
Marta Cabezón
Diana Domínguez
Hematología Clínica: Juan Manuel Sancho
Servicio Anatomía Patológica: Gustavo Tàpia

ICO Badalona
Hospital Germans Trias i Pujol
Ctra. del Canyet s/n
08916 Badalona